

TROISIEME CHAPITRE :

**IMPACT DES COURTS CIRCUITS
ASYMETRIQUES SUR LA STABILITE D'UN GENERATEUR**

La transmission de l'énergie électrique entre deux nœuds d'un réseau électrique est fonction des tensions de ces deux nœuds, du déphasage entre ces deux tensions, et de l'impédance de la liaison entre ces deux nœuds. Sous sa forme la plus simplifiée, et pour une ligne sans pertes cette fonction s'exprime,

$$P = \frac{E \cdot U}{x_{12}} \cdot \sin \delta \quad (3.1)$$

La variation de la tension provoquée par celle de la charge, induit une variation de la puissance fournie par le générateur. De même, le changement de la structure de la liaison qui s'exprime par la variation de la réactance, implique un changement de la caractéristique de puissance générée, en même temps qu'une variation de l'angle δ .

Donc, tout changement de la configuration du réseau modifiera la quantité d'énergie fournie par le générateur, et on peut écrire,

$$P = f(x_{12}, E, U, \delta) \quad (3.2)$$

où, pour les conditions, $U = cte$, et $E = cte$

$$P = f(x_{12}, \delta) \quad (3.2')$$

3.1. Impédance de transfert :

L'impédance de transfert Z_T (ou Z_{12}) est définie par l'impédance mutuelle entre les deux nœuds concernés du réseau, dite aussi impédance de la liaison. Pour une ligne sans pertes ($r_T \approx 0$, et $Z_T \approx x_T$), l'insertion d'une impédance à une distance x de l'extrémité (où de l'origine) de la ligne, engendre un changement de la valeur de la réactance x_T de transfert. Cette observation est spécifiée dans le premier chapitre par une analyse détaillée. En effet, on peut y constater que pour des tensions d'extrémité maintenues constantes, la distribution de la réactance de transfert en fonction de lieu d'insertion est symétrique par rapport au milieu de la ligne. Ainsi, pour avoir, dans ce cas, un meilleur effet de la compensation (serie) on doit installer des batteries au milieu de la ligne ; puisque la réactance y aura une valeur minimale. Une perturbation (court circuit) peut être considérée comme étant une impédance « shunt » déterminée par le type de court circuit. Cette impédance relie le point de défaut à la terre. Sa valeur varie selon le type de défaut (rupture de phase, court circuit phase-terre, phase-phase, deux phases à la terre, et triphasé). Dans cet analyse, on considère le modèle où la tension au bout de la ligne $U_N = 400 \text{ kv}$, la réactance élémentaire (linéique) de la ligne $x_0 = 0.144 \text{ pu}$, l'impédance caractéristique $Z_c = 136.68$, la réactance de transformateur $x(T) = 0.128 \text{ pu}$, et une charge $S_{sys} = S_2 = (P_s + jQ_s) \text{ pu}$.

Le calcul de l'impédance de transfert est effectué par la détermination du paramètre B^* à partir de la matrice globale de transfert. L'impédance de transfert peut être obtenue en simplifiant le schéma du réseau par réduction progressive, en utilisant différentes transformations.

Pour simplifier la procédure de détermination du schéma de défaut en gardant une symétrie dans la structure de la liaison, on considère un défaut à l'extrémité et un autre en son milieu. En

appliquant la relation entre le modèle du quadripôle et celui de schéma en Π , on peut déterminer la matrice globale du système, ainsi que son impédance de transfert.

Les courts circuits peuvent être de type symétrique ou asymétrique. Dans ce deuxième cas, ils sont caractérisés par des courants et des tensions dits directes, inverses et homopolaires. Les effets engendrés par ces courants et ces tensions dépendent des impédances des circuits de circulation, lesquelles dépendent des régimes de neutre du réseau considéré et des groupages de transformateurs.

En haute et très haute tension, les composantes directes et inverses des impédances, et des admittances sont respectivement égales. Par contre, la valeur de l'impédance homopolaire est trois fois celle directe, et l'admittance homopolaire est six fois celle directe $Z_o=3 \times Z_d=3 \times Z_i$, $Y_o=6 \times Y_d=6 \times Y_i$ [1]. Le calcul de l'impédance de transfert doit être fait pour les trois régimes successifs suivants, en négligeant la période subtransitoire à cause de sa courte durée ;

- 1- Avant le défaut.
- 2- En défaut.
- 3- Après suppression de défaut.

Le modèle à analyser est représenté par la **Fig.3.1**.

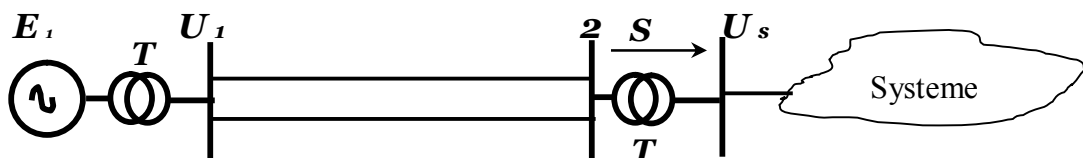


Fig.3.1. Schéma de principe de la liaison.

3.2 Modeles matriciels de la liaison :

3.2.1 Avant le défaut :

Avant le court circuit le modèle peut être réduit à la forme Fig.3.2.

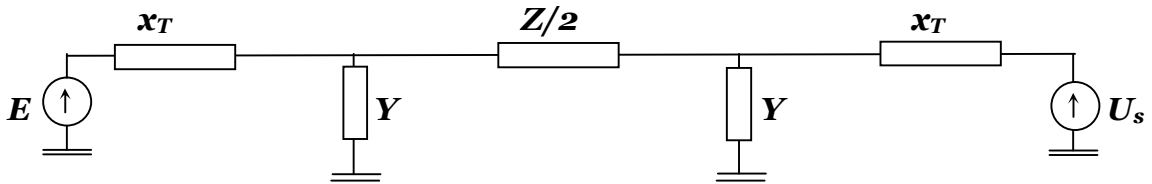


Fig.3.2. Modèle en régime normal.

Les matrices représentant le générateur, le transformateur et la ligne sont déterminées dans le premier chapitre.

$$\begin{aligned}
 \mathbf{G} &= [1 \quad 0 ; j.x_G \quad 1] ; \\
 \mathbf{T} &= [1 \quad 0 ; j.x_T \quad 1] ; \\
 \mathbf{L}^{(\ell/2)} &= [\mathbf{A}^{(\ell/2)*} \quad \mathbf{B}^{(\ell/2)*} ; \mathbf{C}^{(\ell/2)*} \quad \mathbf{D}^{(\ell/2)*}] ;
 \end{aligned}
 \tag{3.3}$$

Où,

$$\begin{aligned}
 \mathbf{A}^{(\ell/2)} &= \cos(\alpha_{ol}) \\
 \mathbf{B}^{(\ell/2)} &= j \cdot \frac{Z_c}{2} \cdot \sin(\alpha_{ol}) \\
 \mathbf{C}^{(\ell/2)} &= j \cdot \frac{2}{Z_c} \cdot \sin(\alpha_{ol}) \\
 \mathbf{D}^{(\ell/2)} &= \cos(\alpha_{ol})
 \end{aligned}$$

le produit de ces trois matrices donne la matrice globale du transfert.

$$\mathbf{S}=\mathbf{G}\times\mathbf{L}\times\mathbf{T}. \quad (3.4)$$

Donc, le modèle de liaison est ainsi déterminé par la matrice globale,

$$\mathbf{S}_{av} = \begin{vmatrix} \mathbf{A}_{av} & \mathbf{B}_{av} \\ \mathbf{C}_{av} & \mathbf{D}_{av} \end{vmatrix},$$

où,

$$\begin{aligned} \mathbf{A}_{av}^* &= \mathbf{A}_{(\ell/2)}^* - 2 \cdot \mathbf{x}_G^* \cdot \mathbf{A}_{(\ell/2)}^* \cdot \text{tg}(\alpha_o \cdot \ell). \\ \mathbf{B}_{av}^* &= (1 - 4 \cdot \mathbf{x}_G^* \cdot \mathbf{x}_T^*) \cdot \mathbf{B}_{(\ell/2)}^* + 2 \cdot (\mathbf{x}_G^* + \mathbf{x}_T^*) \cdot \mathbf{B}_{(\ell/2)}^* \cdot \text{cotg}(\alpha_o \cdot \ell) \\ \mathbf{C}_{av}^* &= \mathbf{C}_{(\ell/2)}^* \\ \mathbf{D}_{av}^* &= \mathbf{D}_{(\ell/2)}^* - 2 \cdot \mathbf{x}_T^* \cdot \mathbf{D}_{(\ell/2)}^* \cdot \text{tg}(\alpha_o \cdot \ell) \end{aligned} \quad (3.4')$$

Toutes ces grandeurs sont réduites aux unités relatives; $\mathbf{x}_G^* = \mathbf{x}_G / \mathbf{Z}_c$, $\mathbf{x}_T^* = \mathbf{x}_T / \mathbf{Z}_c$, et $\mathbf{A}_{av}^* = \mathbf{A}_{av}$, $\mathbf{B}_{av}^* = \mathbf{B}_{av} / \mathbf{Z}_c$, $\mathbf{C}_{av}^* = \mathbf{C}_{av} \times \mathbf{Z}_c$, et $\mathbf{D}_{av}^* = \mathbf{D}_{av}$. Ainsi, l'impédance de transfert s'exprime,

$$\begin{aligned} \mathbf{Z}_{Tav}^* &= \frac{\mathbf{Z}_{Tav}}{\mathbf{Z}_c} = \mathbf{B}_{av}^* \\ \mathbf{Z}_{Tav}^* &= j \mathbf{x}_{Tav}^* \\ \mathbf{x}_{Tav}^* &= (1 - 4 \cdot \mathbf{x}_G^* \cdot \mathbf{x}_T^*) \cdot \mathbf{Z}_{(\ell/2)}^* + 2 \cdot (\mathbf{x}_G^* + \mathbf{x}_T^*) \cdot \mathbf{Z}_{(\ell/2)}^* \cdot \text{cotg}(\alpha_o \cdot \ell) \end{aligned} \quad (3.5)$$

Modèle 1

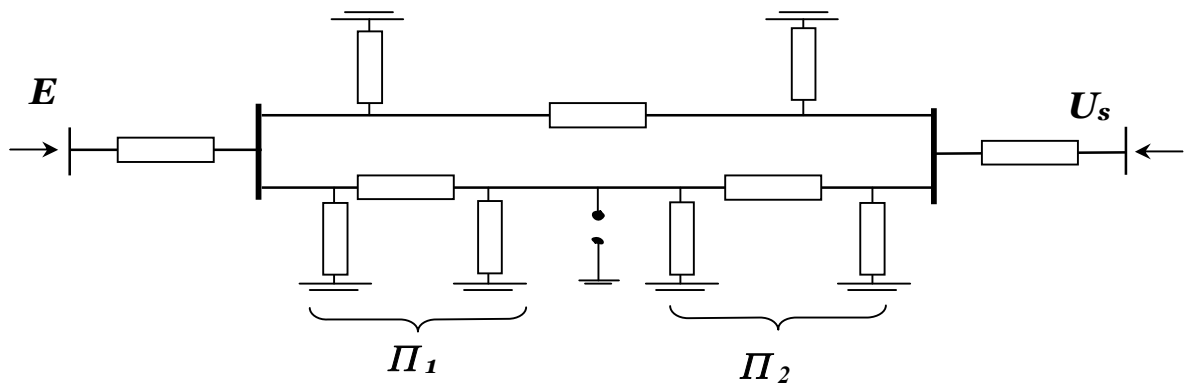
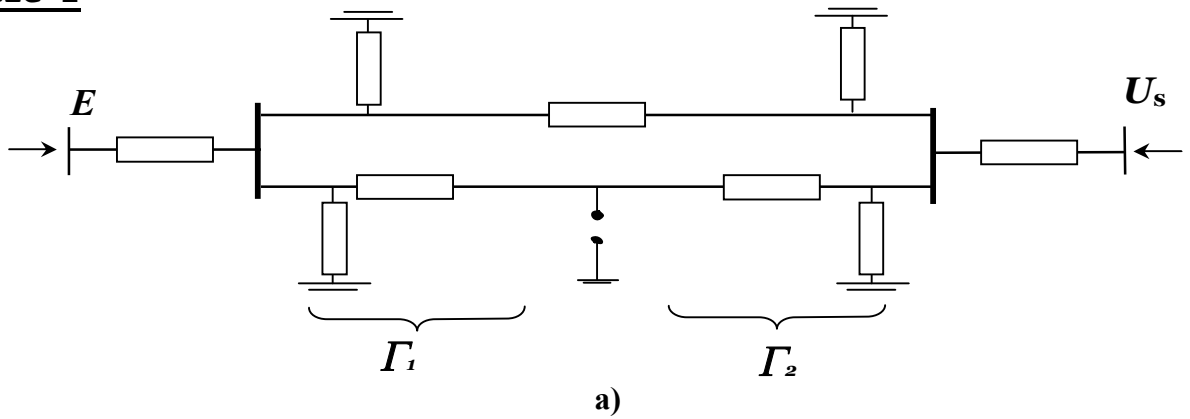


Fig.3.3. Modèle de la liaison en défaut

Modèle 2



Modèle 3

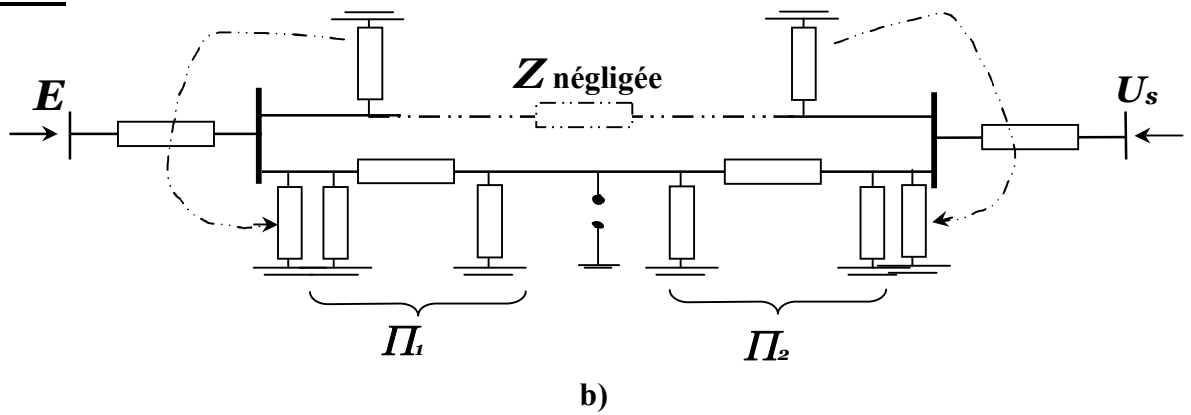
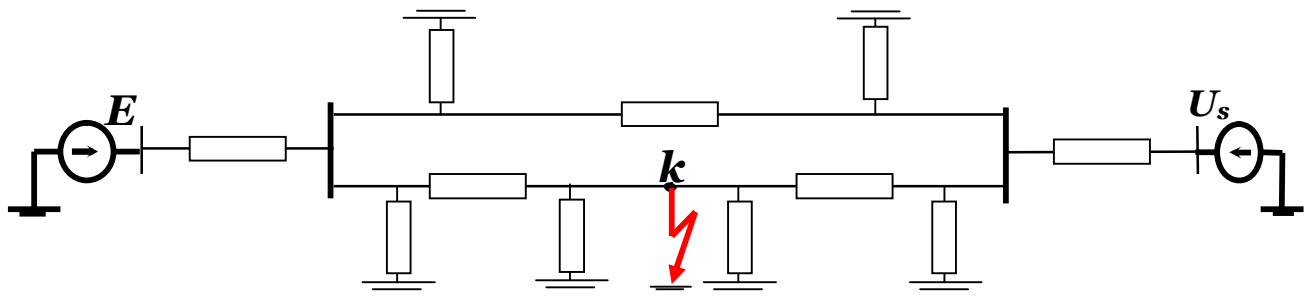
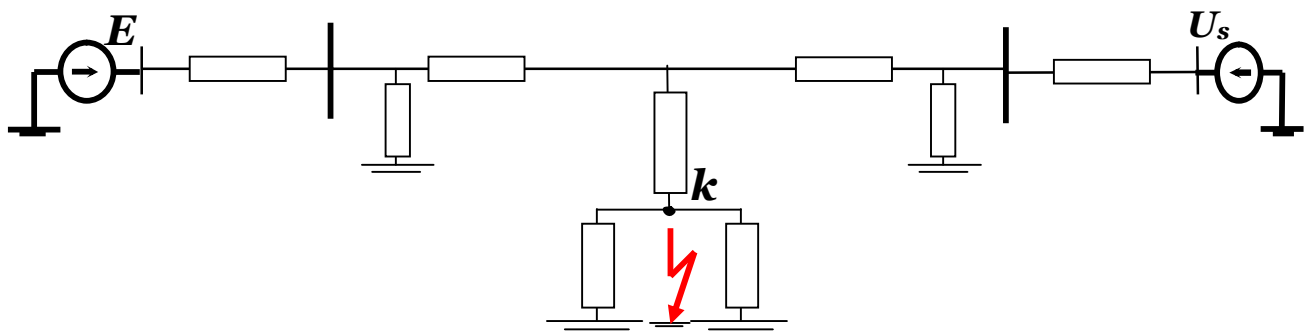


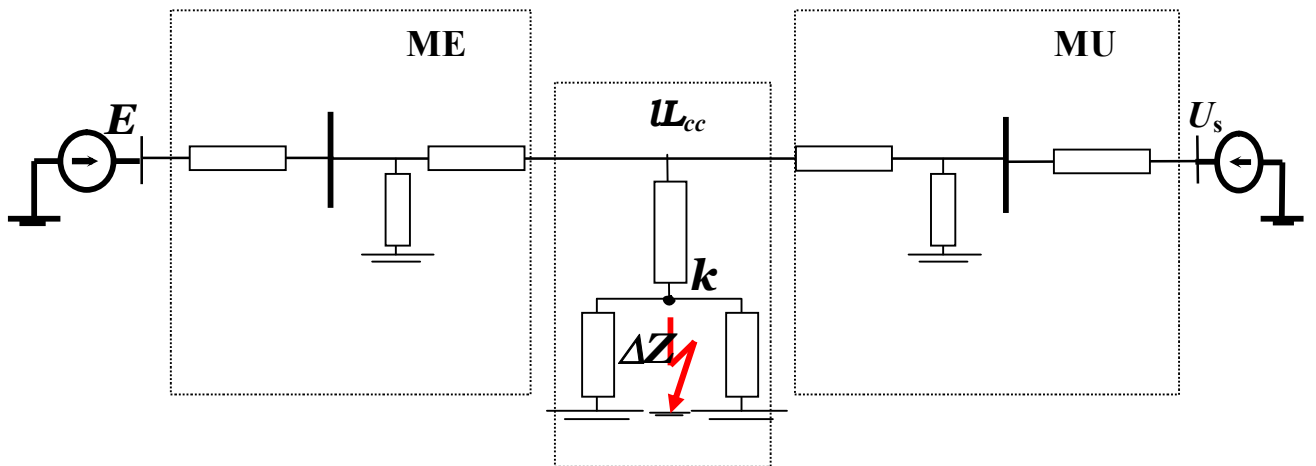
Fig.3.4. Modèles simplifiés de la liaison en défaut



a./



b./



c./

Fig.3.5. Transformation du schéma (modèle 1)

3.2.2 Pendant le défaut :

Les modèles considérés de liaison en défaut sont représentés par les Fig.3.3,4. Le premier modèle tient compte de tous les paramètres de la liaison (sans pertes actives) ; il porte, donc, un caractère général. Les deux autres modèles sont plus simplifiés, en fonction du lieu de court circuit, en négligeant ou bien deux branches transversales (shuntées par le défaut), ou bien la branche longitudinale de la ligne saine.

On étudie d'abord le premier modèle. Les deux autres seront commentés plus loin. Pour le premier modèle la procédure de transformation est montrée par la Fig.3.5.

la matrice \mathbf{U}_{cc} dépend du type et du lieu du défaut. Pour un court circuit triphasé les composantes inverses et homopolaires sont nulles ; le schéma de calcul est ainsi simplifié. En supposant que le court circuit a lieu à travers une résistance nulle, le schéma de la phase de référence prend une forme plus simplifiée Fig.3.6. et permet d'écrire,

$$\Delta Z = Z_{cc} = f(Z_i, Z_o) = \mathbf{0} \quad (3.6)$$

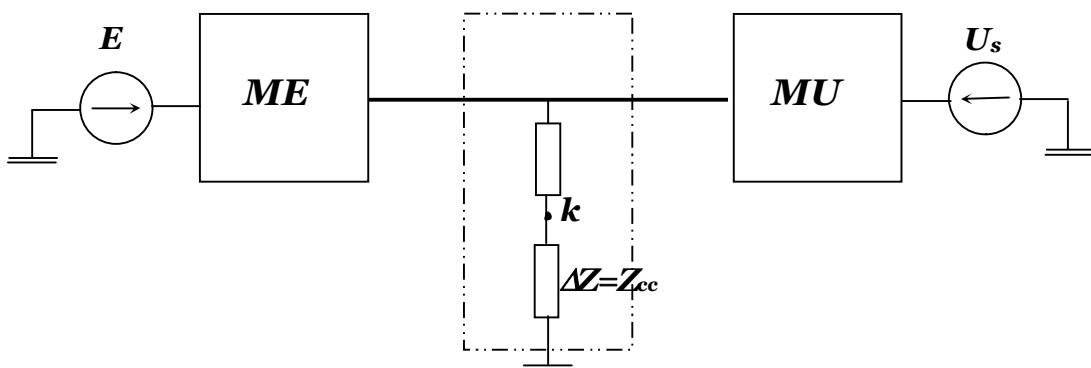


Fig.3.6. Modèle de défaut triphasé symétrique

où, $\Delta Z = Z_{cc}$ - impédance dans le court circuit du schéma complexe équivalent de la phase de référence relative au point de court circuit ; Z_i, Z_o - impédances sommaires respectivement des composantes inverses et homopolaires ; les deux impédances parallèles au court circuit étant shuntées (**Fig.3.5**).

En cas de court circuit (défaut) asymétrique les courants et les tensions de la liaison peuvent être, en règle générale, représentés par leurs composantes directes, inverses et homopolaires auxquelles correspondent des schémas respectifs, (**Fig.3.7**).

Les trois schémas peuvent donner lieu à un schéma équivalent complexe (**Fig.3.8**) de circulation de la composante directe (dans la phase référence), dans lequel l'impédance ΔZ est une fonction des impédances équivalentes inverses et homopolaires et du type de défaut. Ainsi, par exemple, pour les courts circuits biphasés non à la terre, à la terre et le court circuit monophasé, les schémas des différentes composantes peuvent être connectés comme le montrent les **Fig.3.9, 10, 11**.

Les matrices **ME** et **MU** restent les mêmes pour un même modèle de représentation de la ligne en défaut ; seule la matrice \mathbf{U}_{cc} change en fonction du type de défaut.

En simplifiant le modèle par la représentation ' Γ ' des deux tronçons de ligne en défaut (**Fig.3.4,a**), les matrices **ME_i**, et **MU_i** ne changent pas. Dans la matrice \mathbf{U}_{cc} , les deux admittances parallèles s'annulent. En passant au troisième modèle (**Fig.3.4,b**) dans lequel, pour un court circuit au milieu de la ligne, on néglige l'impédance de la ligne saine, mais on conserve les circuits de fuites ($\frac{\mathbf{Y}}{2}$, et $\frac{\mathbf{Y}}{2}$), les trois matrices changent. La matrice \mathbf{U}_{cc} sera déterminée uniquement par ΔZ , l'impédance série étant nulle.

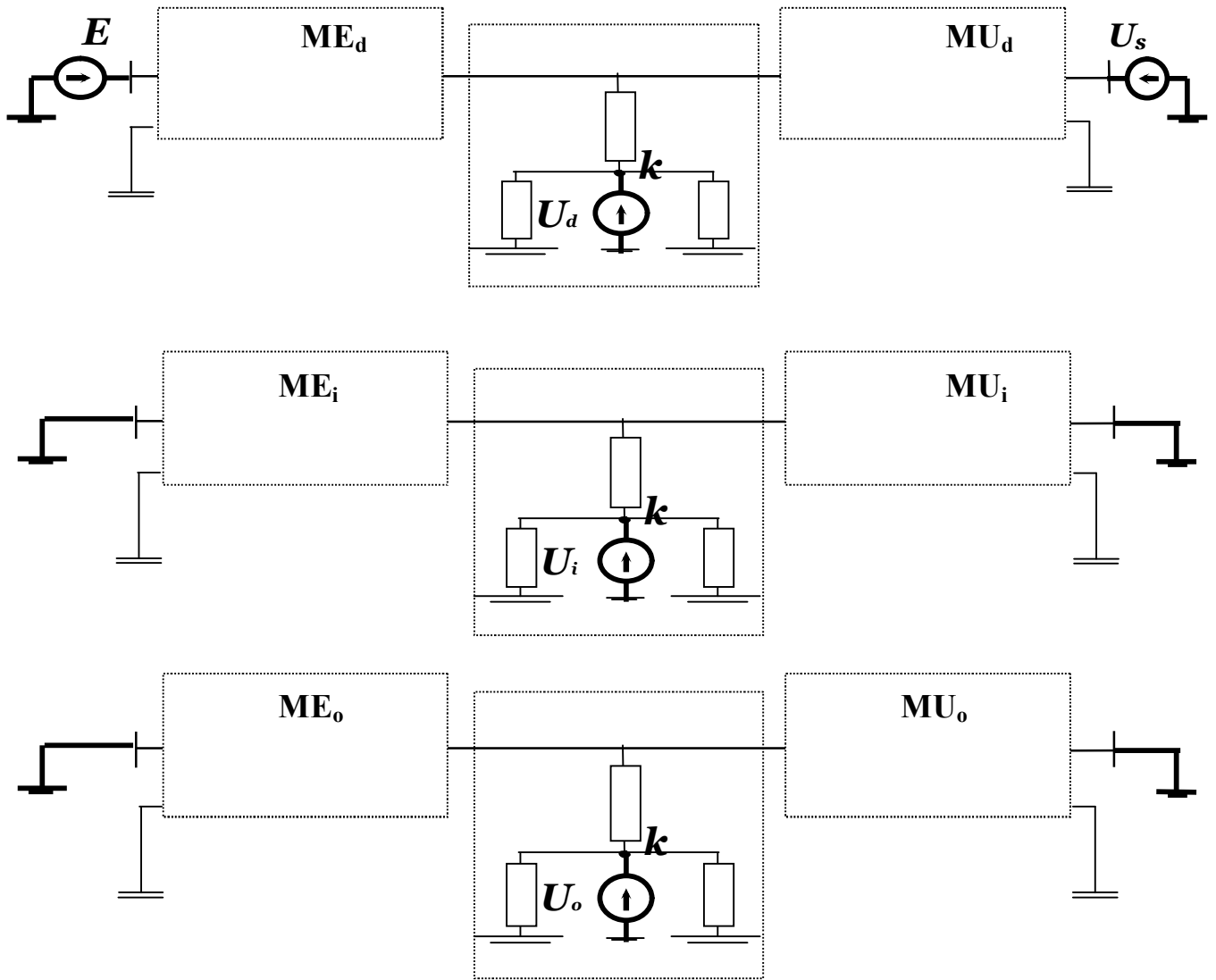


Fig.3.7. Schéma équivalents des composantes symétriques

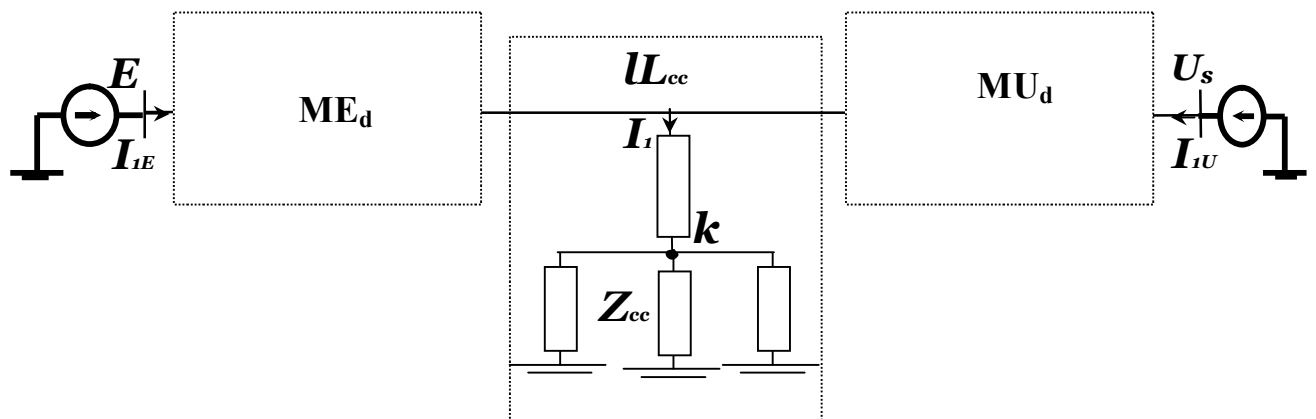
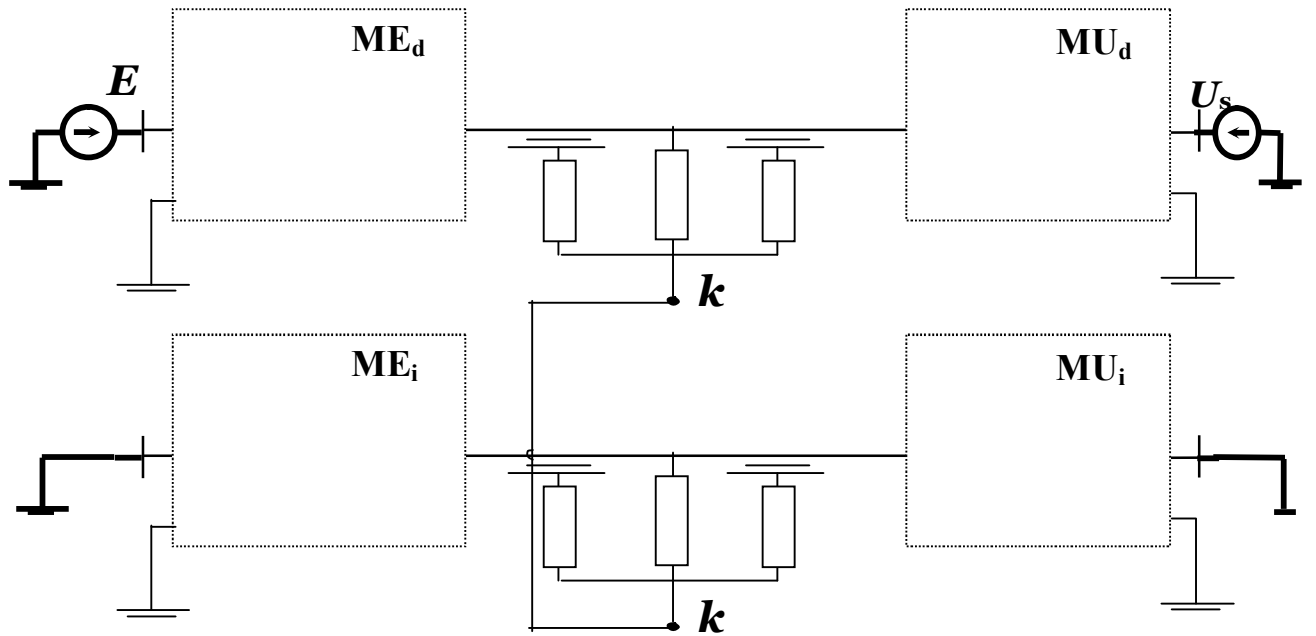
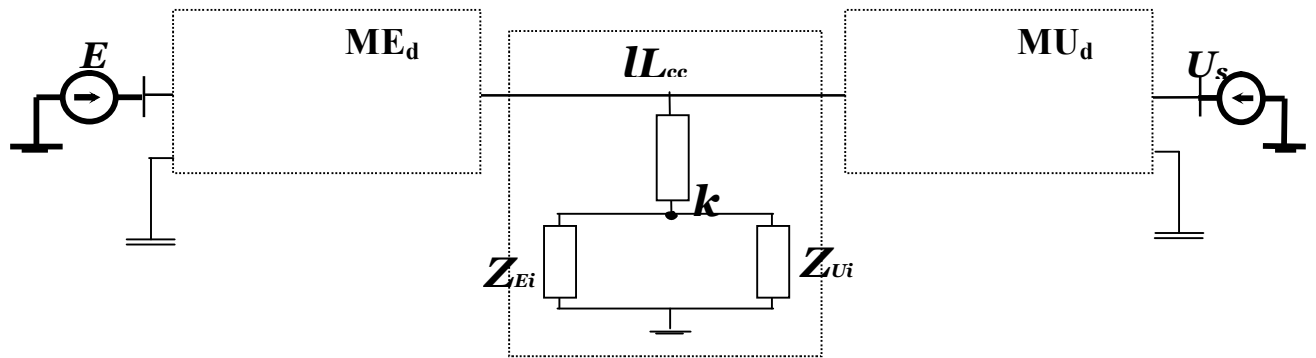


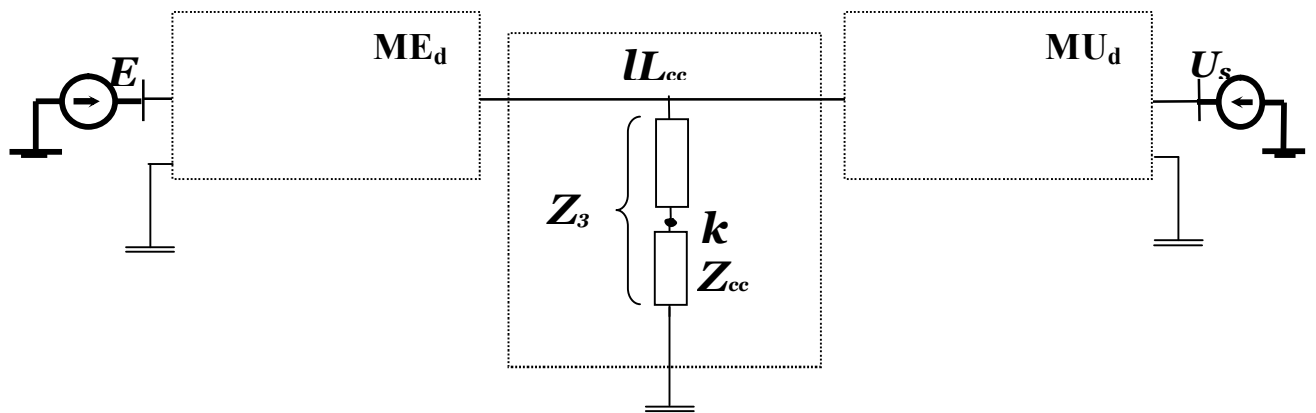
Fig.3.8 . Schéma équivalent complexe de la phase de référence



a./



b./



c./

Fig.3.9. Modele de court circuit biphasé non à la terre ; $Z_{cc}=Z_{i,eq}$

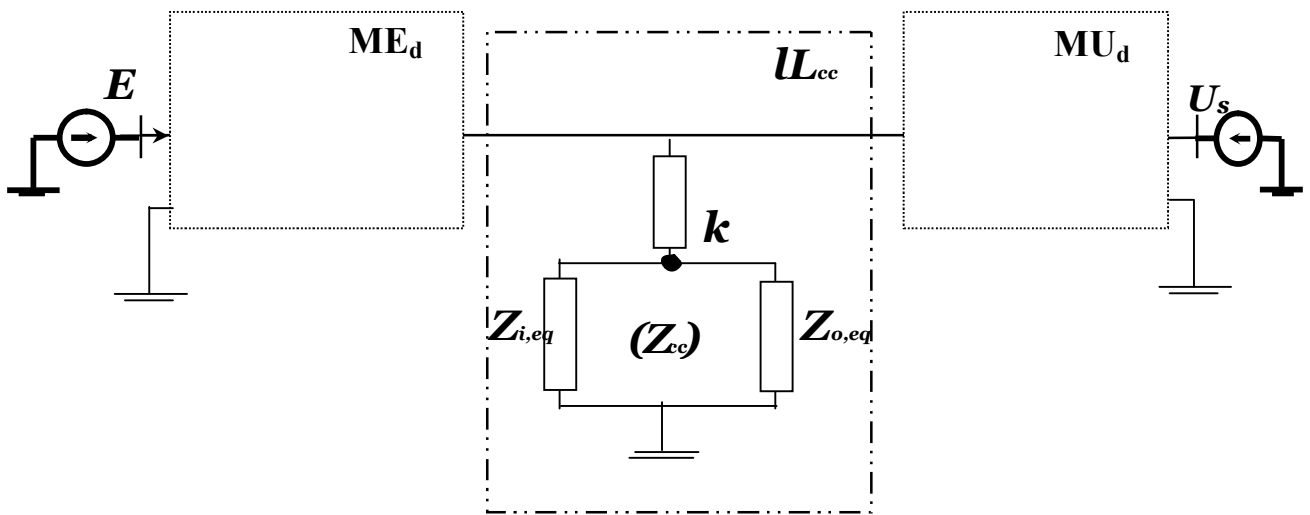
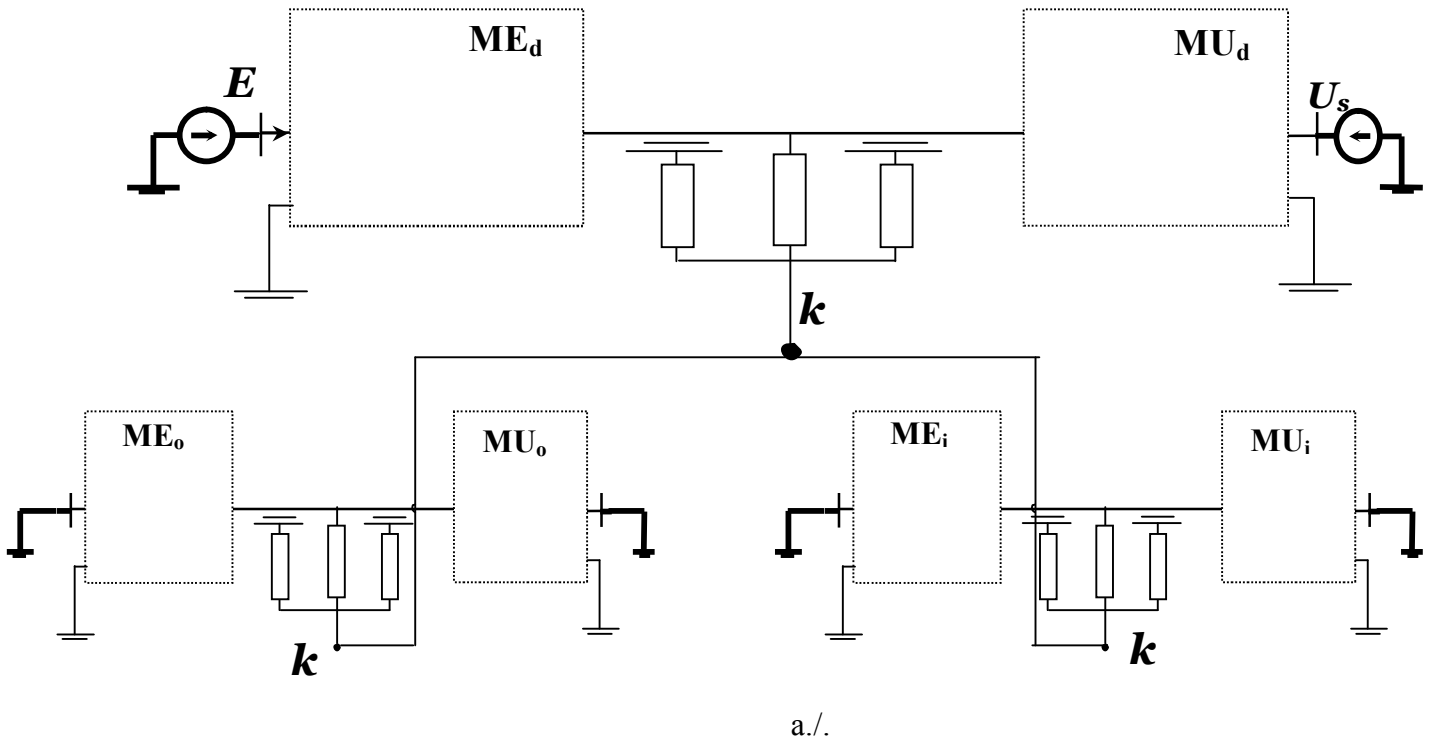


Fig.3.10. Modèle de court circuit biphasé à la terre ; $Z_{cc} = Z_{i,eq} // Z_{o,eq}$

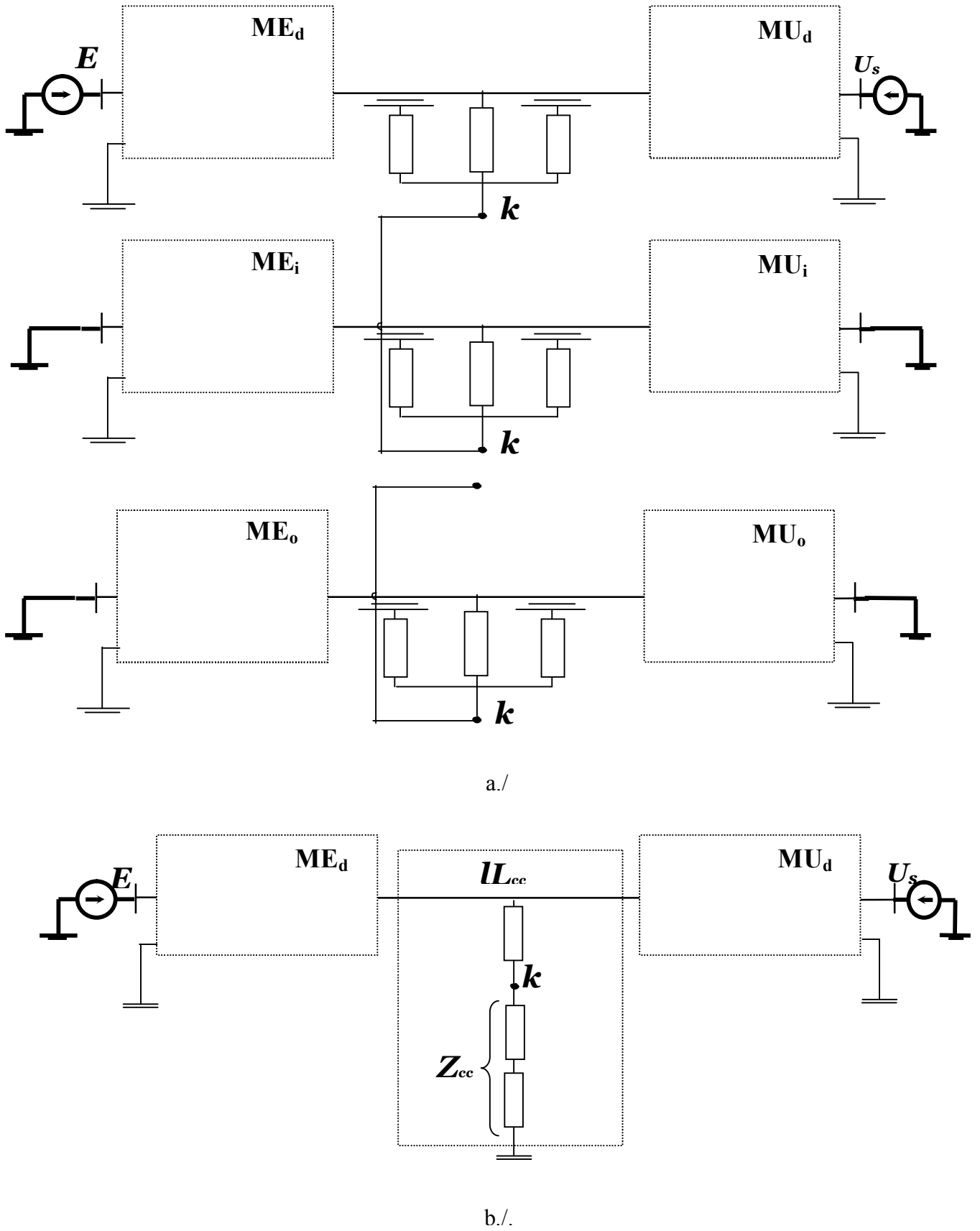
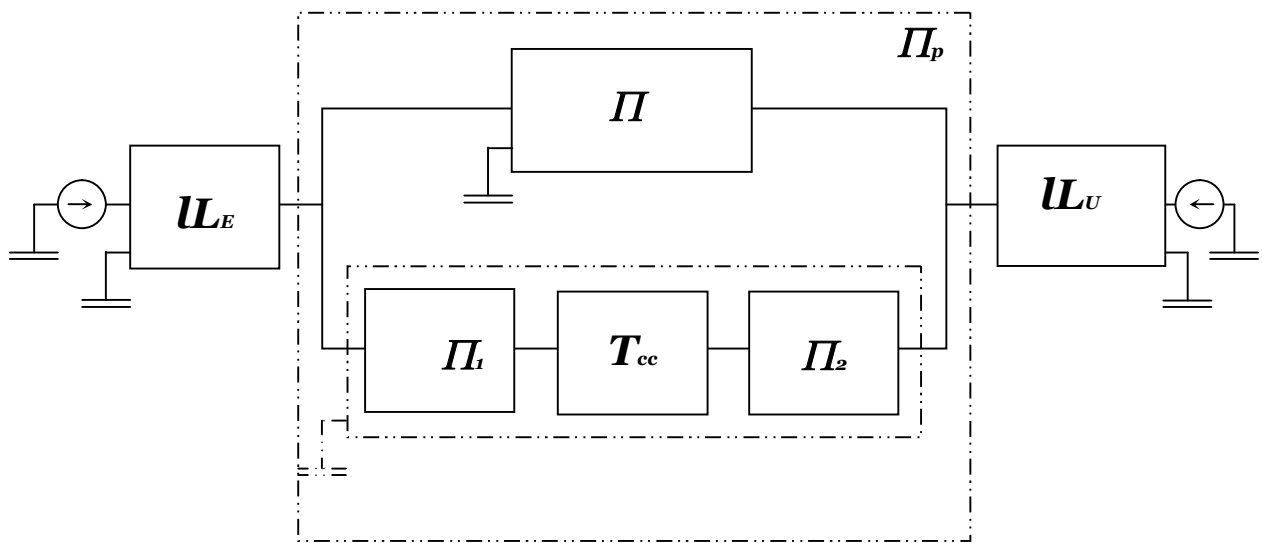


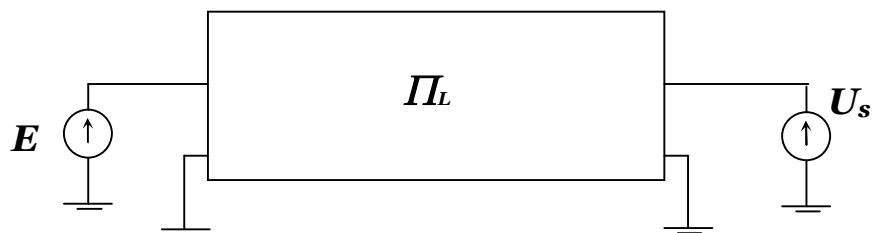
Fig.3.11. Modèle de court circuit monophasé ; $Z_{cc} = Z_{i,eq} + Z_{o,eq}$

Pour la détermination de la matrice globale, on peut, également, utiliser la structure serie-parallèle des matrices, (Fig.3.12, a) ; dans laquelle il suffit de déterminer, pour chaque type de défaut, la matrice \mathbf{U}_{cc} . Ainsi la liaison en défaut peut être représentée par la matrice $\mathbf{\Pi}_L$ de liaison, laquelle s'exprime.

$$\mathbf{\Pi}_L = \mathbf{U}_E \cdot \mathbf{\Pi}_p \cdot \mathbf{U}_U \quad (3.7)$$



a./



b./

Fig.3.12 . Représentation matricielle de la liaison.

Avec,

$$\Pi_p = \Pi // \Pi_s$$

et,

$$(3.8)$$

$$\Pi_s = \Pi_i \cdot T_{cc} \cdot \Pi_2 .$$

- Conversion en matrice équivalente :

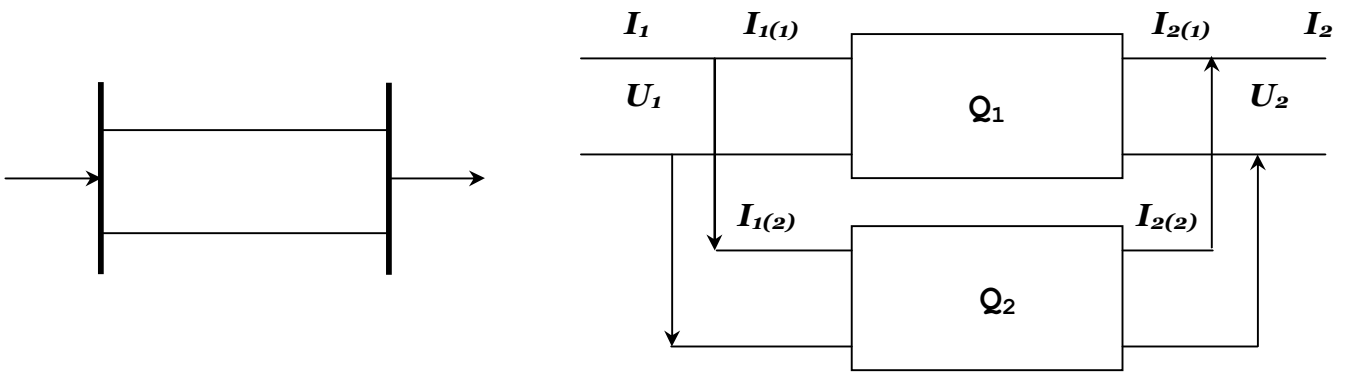


Fig.3. 13. Conversion équivalente.

Les deux quadripôles sont représentés comme suit,

$$Q1 \begin{cases} U_1 = A_1 U_2 + B_1 I_{2(1)} \\ I_1 = C_1 U_2 + D_1 I_{2(1)} \end{cases} \quad (1.)$$

$$Q2 \begin{cases} U_1 = A_2 U_2 + B_2 I_{2(2)} \\ I_1 = C_2 U_2 + D_2 I_{2(2)} \end{cases} \quad (2.)$$

$$\begin{aligned} I_1 &= I_{1(1)} + I_{1(2)}. \\ I_2 &= I_{2(1)} + I_{2(2)}. \end{aligned} \quad (3.)$$

l'expression (3.) donne,

$$I_1 = (C_1 + C_2) U_2 + D_1 I_{2(1)} + D_2 I_{2(2)}. \quad (4.)$$

Mais (1.), et (2.) permettent d'exprimer,

$$\begin{aligned} I_{2(1)} &= \frac{U_1 - A_1 U_2}{B_1}, \\ I_{2(2)} &= \frac{U_1 - A_2 U_2}{B_2}. \end{aligned} \quad (5.)$$

L'expression (4.) prend, alors, la forme,

$$I_1 = (C_1 + C_2 - \frac{D_1 A_1}{B_1} - \frac{D_2 A_2}{B_2}) U_2 + (\frac{D_1 B_2 + D_2 B_1}{B_1 B_2}) U_1.$$

Les expressions (3.) et (5.) permettent, alors, d'obtenir

$$U_1 = \frac{A_1 B_2 + A_2 B_1}{B_1 + B_2} U_2 + \frac{B_1 B_2}{B_1 + B_2} I_2$$

En remplaçant dans l'expression de I_1 , U_1 par sa valeur, on obtient, après transformation,

$$I_1 = \frac{(C_1 + C_2)(B_1 + B_2) - (A_1 - A_2)(D_1 - D_2)}{B_1 + B_2} U_2 + \frac{D_1 B_2 + D_2 B_1}{B_1 + B_2} I_2$$

or,

$$U_1 = A U_2 + B I_2$$

$$I_1 = C U_2 + D I_2$$

d'où,

$$A = \frac{A_1 B_2 + A_2 B_1}{B_1 + B_2}$$

$$B = \frac{B_1 B_2}{B_1 + B_2}$$

$$C = \frac{(C_1 + C_2)(B_1 + B_2) - (A_1 - A_2)(D_1 - D_2)}{B_1 + B_2}$$

$$D = \frac{D_1 B_2 + D_2 B_1}{B_1 + B_2}$$

Pour le cas où, $A_1=A_2=D_1=D_2$, $C_1=C_2$, et $B_1=B_2$ (ligne parallèles identiques), on obtient, $A=A_1=A_2$, $D=D_1=D_2$, $C=2 \times C_1=2 \times C_2$, et $B=\frac{B_1+B_2}{2}$.

Pour chaque type de défaut défini par la matrice $T_{cc}(\Delta Z)$, correspondra une matrice Π_L de liaison à partir de laquelle on détermine l'impédance de liaison. Cette dernière permettra de définir, pour chaque cas, une caractéristique statique de la machine. Cette représentation permet de traiter tous les cas de défaut et en fonction de leur lieu d'apparition. Pour étudier le cas général, Il suffit, donc, de varier la matrice Π_1 ou Π_2 , jusqu'à leur valeur unitaire. Ainsi, en représentant la matrice globale par $S_{(i,j)}$, on peut écrire pour la liaison donnée en défaut,

$$S_{cc(i,j)} = G \cdot \Pi_p \cdot T$$

$$= \begin{vmatrix} A_{cc(i,j)} & B_{cc(i,j)} \\ C_{cc(i,j)} & D_{cc(i,j)} \end{vmatrix} \quad (3.9)$$

i -indique le lieu de défaut, ($i=1$ -défaut coté générateur, $i=2$ -un défaut côté charge).

j -indique le type de défaut.

Pour un court circuit au milieu de la ligne, la simplification du schéma de réseau donne les schémas équivalents de la Fig.3.14. Le système peut être, donc, représenté par la matrice globale de transmission ci-dessous ;

$$S_{cc(1/2,j)} = G \cdot \mathbb{L}_{(\ell/2)} \cdot \mathbb{L}_{cc(1/2,j)} \cdot \mathbb{L}_{(\ell/2)} \cdot T \quad (3.10)$$

Transformation des lignes parallèles :

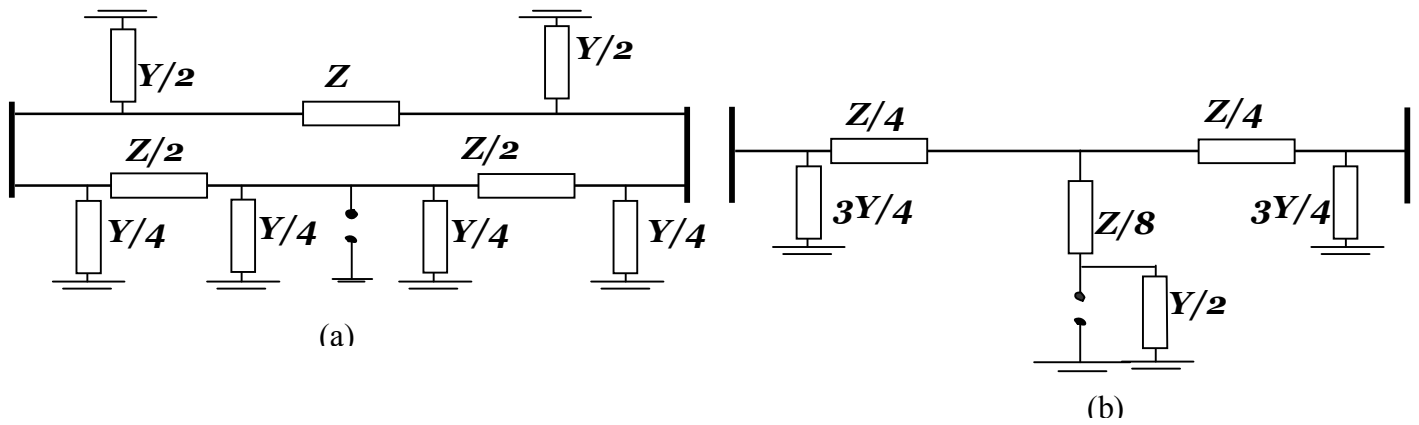


Schéma directe :

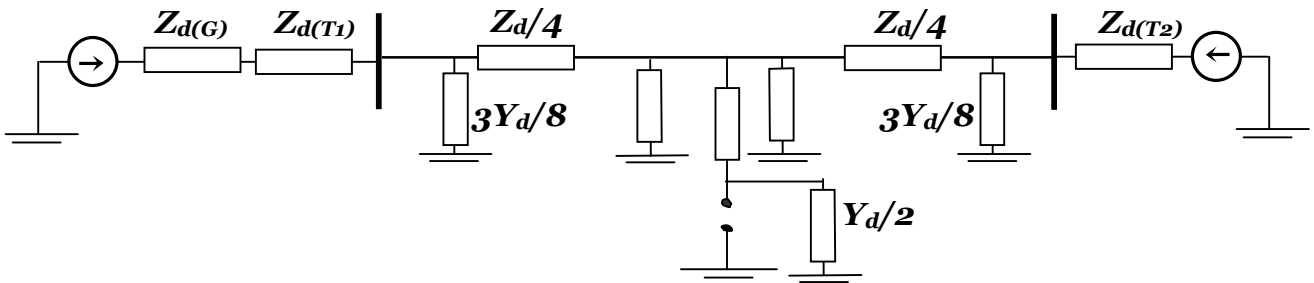


Schéma inverse :

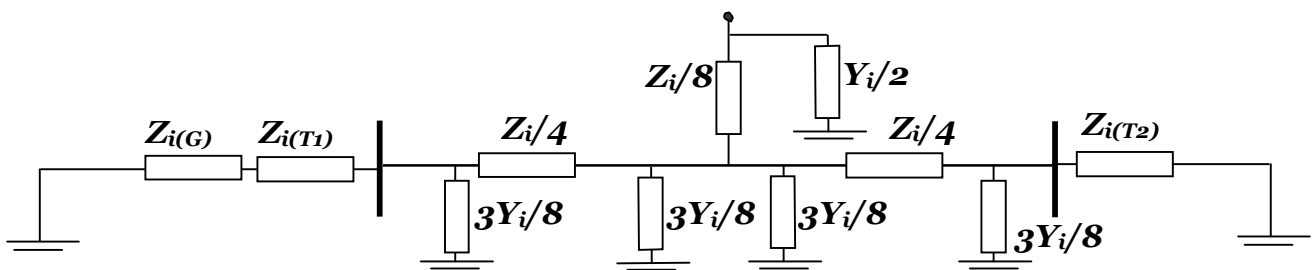


Schéma homopolaire :

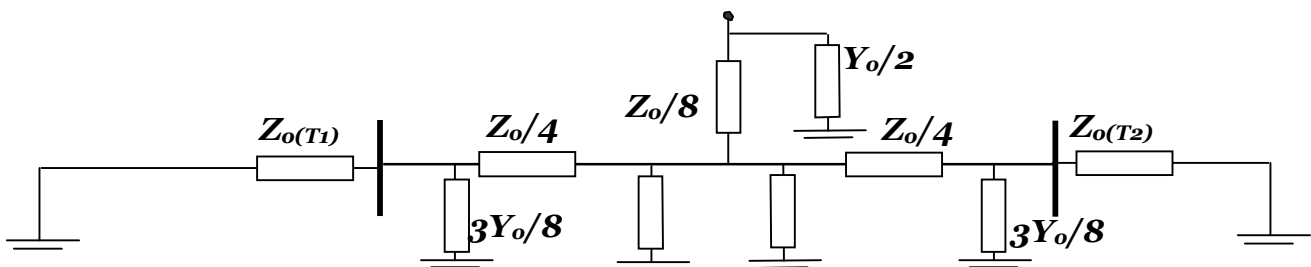


Fig.3.14. Schéma simplifié pour un défaut au milieu de la ligne

$$= \begin{vmatrix} \mathbf{A}_{cc(1/2,j)} & \mathbf{B}_{cc(1/2,j)} \\ \mathbf{C}_{cc(1/2,j)} & \mathbf{D}_{cc(1/2,j)} \end{vmatrix},$$

où, la matrice $\mathbf{U}_{(l/2)}$ représente les deux tronçons égaux de la ligne en défaut et peut être définie par la relation entre le modèle de quadripôle et le schéma en Π .

$$\mathbf{U}_{(l/2)} = \begin{vmatrix} (1 + \frac{\mathbf{Z}_1 \mathbf{Y}_1}{2}) & \mathbf{Z}_1 \\ \frac{\mathbf{Y}_1 (2 + \frac{\mathbf{Z}_1 \mathbf{Y}_1}{2})}{2} & (1 + \frac{\mathbf{Z}_1 \mathbf{Y}_1}{2}) \end{vmatrix}, \quad (3.11)$$

et,

$$\mathbf{U}_{cc(1/2,j)} = \begin{vmatrix} \mathbf{1} & \mathbf{0} \\ \frac{1}{\mathbf{Z}_3} & \mathbf{1} \end{vmatrix}, \quad (3.12)$$

Dans ce cas,

$$\mathbf{Z}_3 = \frac{\mathbf{Z}}{8} + (\Delta \mathbf{Z} // \frac{2}{\mathbf{Y}}), \quad (3.13)$$

avec,

$$\mathbf{Z}_1 = \frac{\mathbf{Z}}{4}, \quad \mathbf{Y}_1 = \frac{3\mathbf{Y}}{4}$$

Les impédances inverses et homopolaires équivalentes sont déterminées en utilisant les transformations des schémas. L'impédance de transfert, comme on a vu précédemment, est déterminée par le paramètre $\mathbf{B}_{cc(1/2,j)}^*$ de la matrice globale de transmission. En négligeant les admittances de la ligne, on obtient des résultats différents en expression et en valeur de l'impédance de transfert,

$$\begin{aligned} \mathbf{Z}_a &= \mathbf{Z}_G + \frac{\mathbf{Z}}{4} = \mathbf{j}x_G + \mathbf{j}\frac{\mathbf{Z}_c}{4} \cdot \sin(\alpha_0 l) \\ \mathbf{Z}_b &= \mathbf{Z}_T + \frac{\mathbf{Z}}{4} = \mathbf{j}x_T + \mathbf{j}\frac{\mathbf{Z}_c}{4} \cdot \sin(\alpha_0 l) \\ \mathbf{Z}_3 &= \Delta\mathbf{Z} + \frac{\mathbf{Z}}{8} = \mathbf{j}x_{cc} + \mathbf{j}\frac{\mathbf{Z}_c}{8} \cdot \sin(\alpha_0 l) \end{aligned} \quad (3.14)$$

Les impédances \mathbf{Z}_a , \mathbf{Z}_b dépendent du lieu de défaut, mais $\Delta\mathbf{Z}$ dépend du lieu et du type de défaut, ainsi que la résistance de terre, supposée nulle dans le cas considéré. Les impédances équivalentes directes, inverses et homopolaires s'expriment,

$$\begin{aligned} \mathbf{Z}_{i,eq} &= \frac{\mathbf{Z}_{a,i} \times \mathbf{Z}_{b,i}}{\mathbf{Z}_{a,i} + \mathbf{Z}_{b,i}} + \frac{\mathbf{Z}_i}{8} \\ \mathbf{Z}_{o,eq} &= \frac{\mathbf{Z}_{a,o} \times \mathbf{Z}_{b,o}}{\mathbf{Z}_{a,o} + \mathbf{Z}_{b,o}} + \frac{\mathbf{Z}_o}{8} \end{aligned} \quad (3.15)$$

Ce qui permet d'obtenir,

$$\mathbf{Z}_T = \mathbf{Z}_a + \mathbf{Z}_b + \frac{\mathbf{Z}_a \times \mathbf{Z}_b}{\mathbf{Z}_3} \quad (3.16)$$

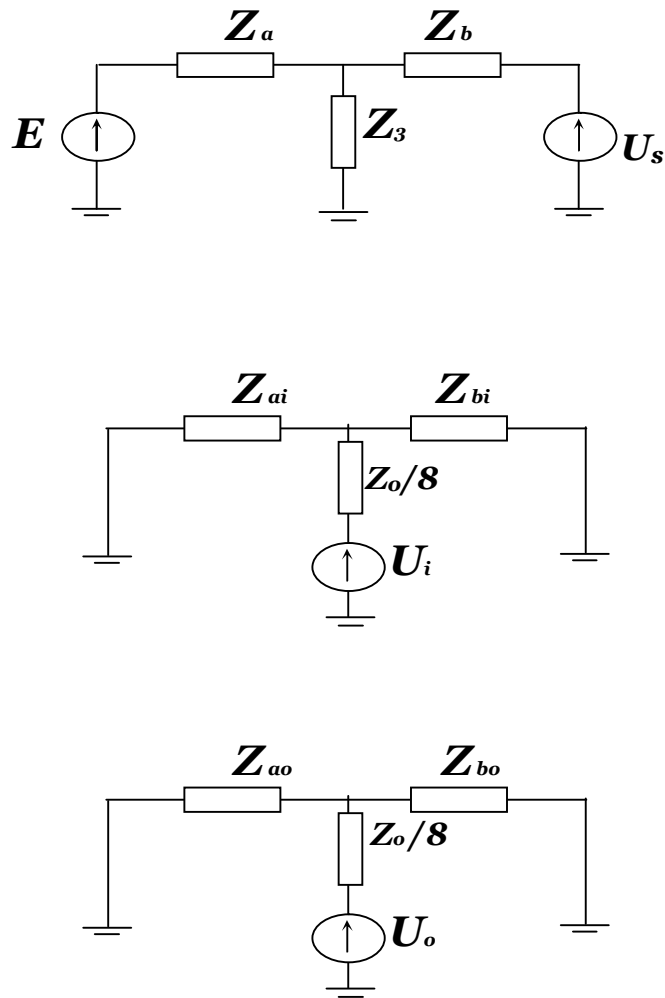


Fig.3.13. Schéma descriptif de la liaison (pour $Y=0$).

Les types de défaut peuvent être classés selon leurs effets sur l'impédance de liaison. Cette impédance augmente dans l'ordre suivant des courts circuits :

- triphasé
- biphasé à la terre
- biphasé
- monophasé.

Ces impédances sont définies et données dans le **tableau.3.1**.

Tableau 3.1.

Type de défaut	C.c. symétrique	C.c.asymétrique		
	3Φ	2Φ-T	2Φ isolé	1Φ-T
$\Delta Z = Z_{cc}$	$Z_{cc} = 0$	$Z_{cc} = \frac{Z_{i,eq} \times Z_{o,eq}}{Z_{i,eq} + Z_{o,eq}}$	$Z_{cc} = Z_{i,eq}$	$Z_{cc} = Z_{o,eq} + Z_{i,eq}$

3.2.3 Après le défaut :

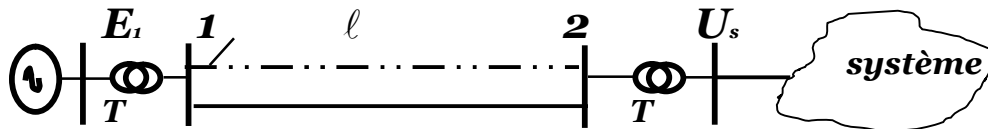


Fig.3. 15. Modèle d'analyse après défaut.

Après le débranchement de la ligne en défaut, les éléments de la matrice \mathbf{L} de la ligne saine s'expriment

$$A_{(l)} = \cos(\alpha_0 l)$$

$$B_{(l)} = j \cdot Z_c \cdot \sin(\alpha_0 l)$$

(3.17)

$$C_{(l)} = j \cdot \frac{1}{Z_c} \cdot \sin(\alpha_0 l)$$

$$D_{(l)} = \cos(\alpha_0 l)$$

Ce qui permet d'obtenir pour la matrice sommaire correspondante,

$$\begin{aligned}
 \mathbf{A}_{ap}^* &= \mathbf{A}_{(l)}^* - \mathbf{x}_G^* \cdot \mathbf{A}_{(l)}^* \cdot \text{tg}(\alpha_o \cdot l) . \\
 \mathbf{Z}_{Tap}^* = \mathbf{B}_{ap}^* &= (\mathbf{1} - \mathbf{x}_G^* \cdot \mathbf{x}_T^*) \cdot \mathbf{B}_{(l)}^* + (\mathbf{x}_G^* + \mathbf{x}_T^*) \cdot \mathbf{B}_{(l)}^* \cdot \text{ctg}(\alpha_o \cdot l) \\
 \mathbf{C}_{ap}^* &= \mathbf{C}_{(l)}^* \\
 \mathbf{D}_{ap}^* &= \mathbf{D}_{(l)}^* - \mathbf{x}_T^* \cdot \mathbf{D}_{(l)}^* \cdot \text{tg}(\alpha_o \cdot l)
 \end{aligned} \tag{3.18}$$

3.3 Effet sur la stabilité du générateur.

Pour simplifier l'analyse, en montrant uniquement l'effet de la liaison sur la puissance caractéristique de la ligne, donc, sur la stabilité de générateur, on considère une tension constante aux bornes de l'ensemble générateur-transformateur. Cette dernière peut être calculée par la formule,

$$\dot{U}_1 = \cos(\mathbf{a}) + \mathbf{Q}_2 \sin(\mathbf{a}) + j \mathbf{P}_2 \sin(\mathbf{a}) \tag{3.19}$$

ou, \mathbf{a} -le facteur de phase de propagation de l'onde électromagnétique. (voir chap n°1), $\mathbf{P}_2 = \mathbf{P}_s$ la puissance active fournie par le générateur, $\mathbf{Q}_2 = \mathbf{Q}_s$ - la puissance réactive au bout de la ligne.

Si on néglige l'admittance de la ligne ($\mathbf{b}_o \rightarrow \mathbf{0}$), l'expression (3.19) prend une autre forme. En effet, pour les grandeurs exprimées en unité naturelles, on écrit,

$$\dot{U}_1 = U_2 \times (\cos(\mathbf{a}) + \frac{\mathbf{Z}_c}{U_2} \cdot \mathbf{Q}_2 \sin(\mathbf{a}) + j \cdot \frac{\mathbf{Z}_c}{U_2} \cdot \mathbf{P}_2 \sin(\mathbf{a}))$$

ou bien,

$$\dot{U}_1 = U_2 \times (\cos(\sqrt{\mathbf{b}_o \mathbf{x}_o l}) + \frac{\mathbf{Q}_2}{U_2} \cdot \mathbf{x}_o \cdot l \cdot \frac{\sin \sqrt{\mathbf{b}_o \mathbf{x}_o l}}{\sqrt{\mathbf{b}_o \mathbf{x}_o l}} + j \cdot \frac{\mathbf{P}_2}{U_2} \cdot \mathbf{x}_o \cdot l \cdot \frac{\sin \sqrt{\mathbf{b}_o \mathbf{x}_o l}}{\sqrt{\mathbf{b}_o \mathbf{x}_o l}})$$

si \mathbf{b}_o tend vers zéro, alors,

$$\dot{U}_1 = U_2 \times \left(1 + \frac{Q_2}{U_2} \cdot x_o \cdot l + j \cdot \frac{P_2}{U_2} \cdot x_o \cdot l \right)$$

Mais les puissances doivent être exprimées par rapport à P_c ,

$$\dot{U}_1^* = 1 + \frac{Z_c}{Z_c} \frac{Q_2}{U_2} \cdot x_o \cdot l + j \cdot \frac{Z_c}{Z_c} \frac{P_2}{U_2} \cdot x_o \cdot l$$

ce qui donne,

$$\dot{U}_1^* = 1 + Q_2^* \cdot x^* + j \cdot P_2^* \cdot x^*$$

et,

$$U_1^* = \sqrt{(1 + Q_2^* \cdot x^*)^2 + (P_2^* \cdot x^*)^2} \quad (3.20)$$

où, Q_2^* , P_2^* , et x^* sont exprimées respectivement par rapport à P_c et Z_c .

Durant son fonctionnement normal, l'équation d'équilibre du générateur s'exprime,

$$M \cdot \frac{d^2 \delta}{dt^2} = P_{acc} \quad (3.21)$$

$$P_{acc} = P_o - P_M \cdot \sin \delta - P_a$$

où, P_o - puissance mécanique de la turbine, $P_M \cdot \sin \delta$ - puissance électrique d'amplitude P_M de la machine, P_a - puissance d'amortissement des masses tournantes (négligeable), M - moment d'énergie des masses tournantes.

Pour une ligne idéale sans pertes actives, la puissance fournie par la machine est égale à celle de la charge ($P_2 = P_o$).

La puissance de la charge transmise par le générateur est limitée par son amplitude, et en tenant compte d'une réserve k_r admissible,

$$P_{2,Max}^* < \frac{k_u}{\sin \alpha_0 l} \quad (3.22)$$

$$k_r = \frac{P_{2,Max} - P_o}{P_o} \times 100 \leq k_{r,ad}$$

La stabilité de la machine dépend de sa réserve en énergie (marge de stabilité), qui peut être évaluée, essentiellement, par la puissance et l'angle δ de transfert. Mais la puissance transmise dépend des tensions, sur les deux extrémités de la ligne et de la réactance de la liaison. Ainsi, tout changement de la configuration de la liaison engendre la variation de la réactance correspondante (donc de la tension dans les nœuds) ; laquelle se traduit par un changement de la caractéristique de puissance de la machine.

Dans ces conditions ; le générateur peut être dans un état tel que la réserve en énergie pour couvrir les effets sur l'équilibre énergétique, impliqués par les différents défauts sera insuffisante (voire nulle). Il est donc nécessaire d'analyser et quantifier ces effets sur les caractéristiques statiques de la machine pour extraire les conditions où les limites à respecter pour conserver la stabilité de la machine.

Sur la **Fig.3.16** on représente deux cas de déficit en énergie de réserve suite à deux défaut d'effet différents. Suite de l'apparition du premier défaut, la machine passe du fonctionnement sur la caractéristique (**I**) à celui sur la caractéristique (**II**). Ce changement s'effectue dans un régime transitoire dans lequel deux énergies se trouvent en interaction : l'énergie accélératrice de la turbine correspondante à l'aire $A_{ac}=a-b-c-a$ et l'énergie de freinage $A_f=c-d-e-c$. on peut constater que $A_{ac} > A_f$; C'est à dire l'énergie de freinage ne peut pas « contenir » celle d'accélération, par conséquent, sous l'effet du défaut maintenu, la machine sort du synchronisme. Dans le cas du deuxième défaut la réserve du freinage est nulle, la machine est de fait hors du synchronisme.

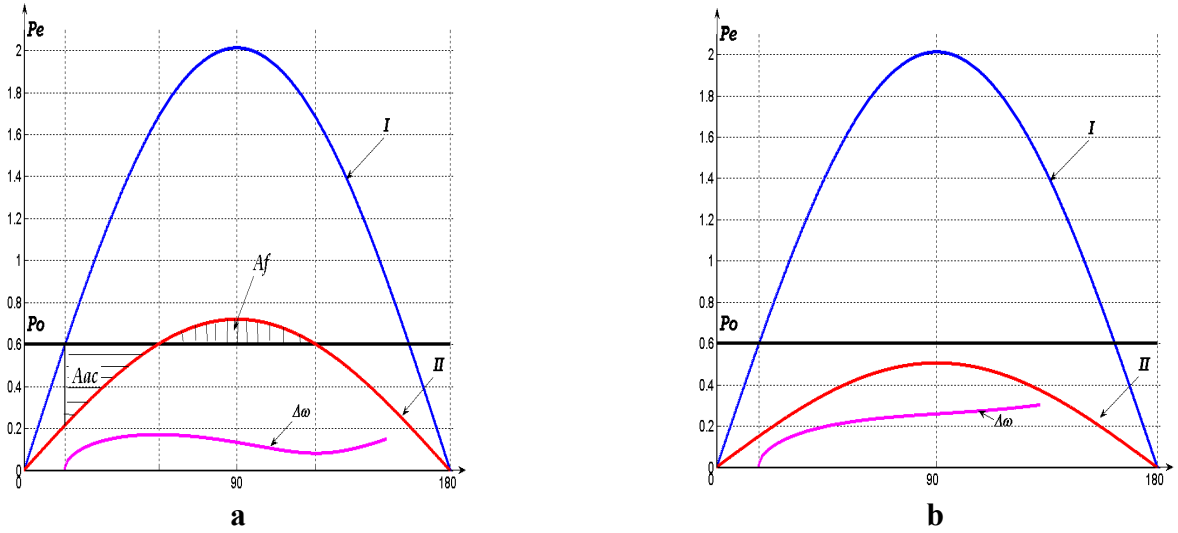


Fig.3.16 .

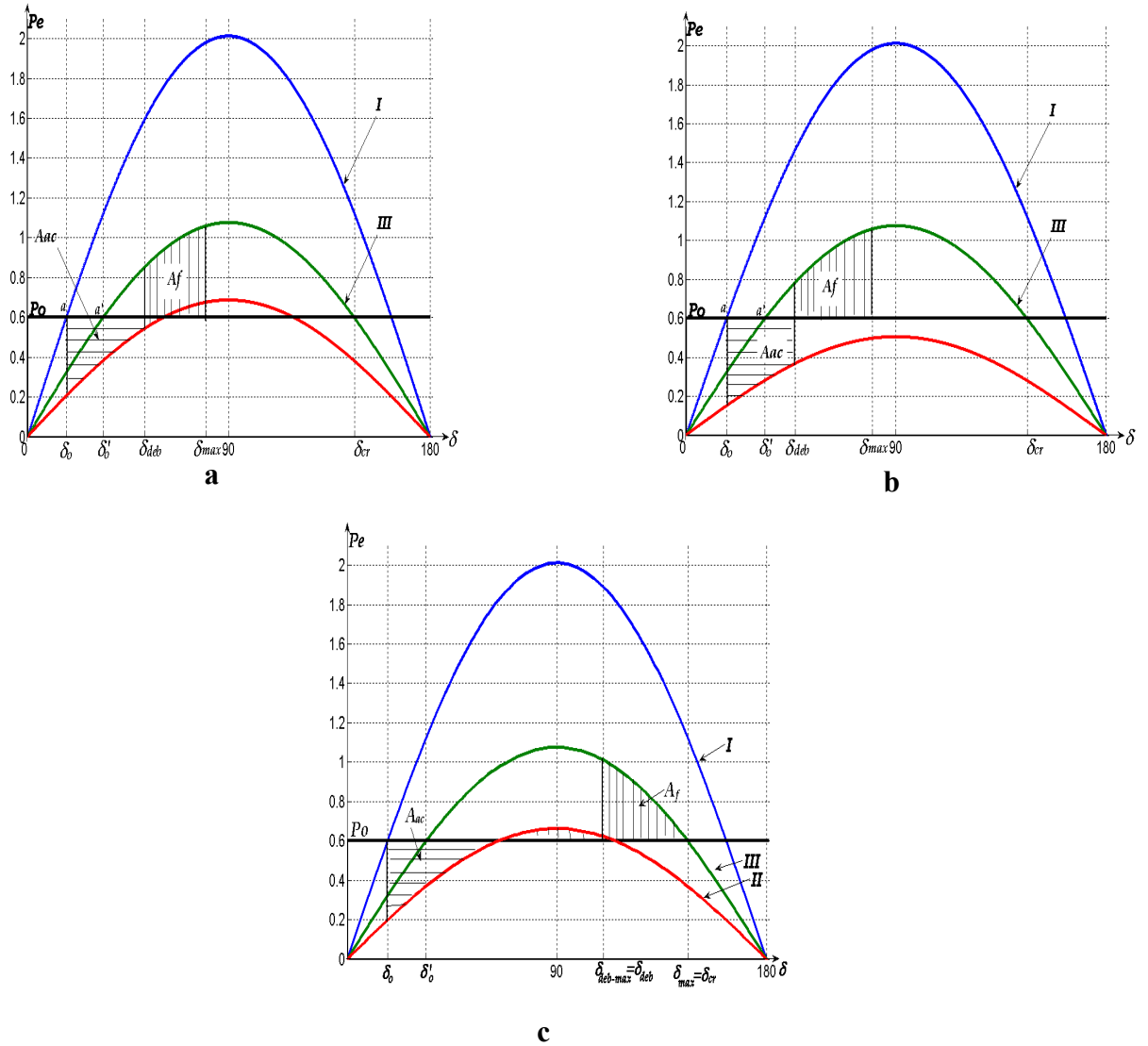


Fig.3.17 .

La réserve de la stabilité peut être rétablie, si on débranche à temps les défaut, **Fig.3.17, a, b.**

Si le défaut est débranché à $\delta = \delta_{deb}$, Le régime de la machine passe de la caractéristique "II" à la caractéristique "III". Si l'égalité $A_{ac} = A_f$ est atteinte pour $\delta_{max} < \delta_{cr}$, la machine reprend, après des oscillations, sa stabilité en établissant un équilibre avec la turbine dans le point "a' ". Si ce défaut est telle que cette égalité est atteinte pour $\delta_{max} = \delta_{cr}$ (ou, δ_{max} - la première amplitude des oscillations) la machine sera à la limite de conservation de sa stabilité ; dans ce cas $\delta_{deb} = \delta_{deb,max}$, (**Fig.3.17, c**).

Cet angle de débranchement peut être déterminé par l'expression,

$$\delta_{deb,max} = \frac{P_o (\delta_{cr} - \delta_o) - P_{m,cc} \cos \delta_o + P_{m,ap} \cos \delta_{cr}}{P_{m,ap} - P_{m,cc}} \quad (3.24)$$

Cette expression est obtenue à partir de l'équation

$$A_{ac} + A_f = 0 \quad (3.25)$$

Où bien

$$\int_{\delta_o}^{\delta_{cr}} \Delta P_i d\delta = 0 \quad (3.25')$$

A l'angle de débranchement limite correspond un temps de débranchement limite également. Pour la détermination du temps de débranchement il est nécessaire de résoudre l'équation (3.21) du mouvement transitoire relative à l'interaction électromécanique entre le rotor et le champs variable du stator. On utilise pour cette résolution la méthode des approximations progressive (itérative). La résolution doit donner la relation transitoire,

$$\delta = f(t)$$

laquelle, sachant $\delta_{deb-max}$, permet d'obtenir le temps maximal de débranchement correspondant.

3.3.1. Simplification et comparaison des impédances de transfert :

la valeur de la puissance débitée, la puissance réactive correspondante (charge), la tension de l'ensemble générateur-transformateur et celle du système sont supposées constantes ;

$P_2 = P_s = 0.6$ et $U_s = U_i = 1$. Il est défini également ;

$$Z_{(T)} = jZ_c \cdot x_{(T)}^*, Z_{(l)} = jZ_c \cdot \sin \alpha_0 l, Z_{d(l)} = Z_{i(l)} = (1/3) \times (Z_{o(l)}),$$

$$Z_{d(T)} = Z_{i(T)} = Z_{o(T)}, [2],$$

4- Avant le défaut :

$$Z_{S(av)} = \frac{Z_{(l)}}{2} + Z_{(T)} ;$$

b. Après le défaut :

$$Z_{S(ap)} = Z_{(l)} + Z_{(T)} ;$$

c. Pendant le défaut :

$$Z_{S(cc)} = \frac{Z_{(l)}}{2} + Z_{(T)} + \frac{Z_{(l)} \times Z_{(T)}}{\Delta Z} ;$$

où, ΔZ dépend du type de défaut.

La composante inverse équivalente :

$$Z_i = \frac{\frac{Z_{i(O)} \times Z_{i(T)}}{2}}{\frac{Z_{i(O)} + Z_{i(T)}}{2}} = \frac{Z_{(O)} \times Z_{(T)}}{Z_{(O)} + 2Z_{(T)}} ;$$

La composante homopolaire équivalente :

$$Z_o = \frac{\frac{Z_{o(O)} \times Z_{o(T)}}{2}}{\frac{Z_{o(O)} + Z_{o(T)}}{2}} = \frac{Z_{(O)} \times Z_{(T)}}{Z_{(O)} + \left(\frac{2}{3}\right)Z_{(T)}} ;$$

- Court circuit monophasé :

$$\Delta Z = Z_i + Z_o ;$$

$$\Delta Z = \frac{Z_{(O)} \times Z_{(T)}}{Z_{(O)} + 2Z_{(T)}} + \frac{Z_{(O)} \times Z_{(T)}}{Z_{(O)} + \left(\frac{2}{3}\right)Z_{(T)}}$$

$$\Delta Z = Z_{(O)} \times Z_{(T)} \times \frac{(Z_{(O)} + 2Z_{(T)} + Z_{(O)} + \left(\frac{2}{3}\right)Z_{(T)})}{(Z_{(O)} + 2Z_{(T)}) \times (Z_{(O)} + \left(\frac{2}{3}\right)Z_{(T)})} ;$$

$$\Delta Z = 2 \times Z_{(O)} \times Z_{(T)} \times \frac{(Z_{(O)} + \left(\frac{4}{3}\right)Z_{(T)})}{(Z_{(O)} + \left(\frac{4}{3}\right)Z_{(T)} + \left(\frac{2}{3}\right)Z_{(T)}) \times (Z_{(O)} + \left(\frac{4}{3}\right)Z_{(T)} - \left(\frac{2}{3}\right)Z_{(T)})}$$

$$\Delta Z = 2 \times Z_{(O)} \times Z_{(T)} \times \frac{(Z_{(O)} + \frac{4}{3}Z_{(T)})}{(Z_{(O)} + \frac{4}{3}Z_{(T)})^2 - \left(\frac{2}{3}Z_{(T)}\right)^2}$$

L'expression ΔZ permet de déterminer,

$$Z_{S(cc)} = \frac{Z_{(l)} + Z_{(T)} + \frac{Z_{(l)} \times Z_{(T)}}{2}}{2 \times Z_{(l)} \times Z_{(T)} \times \frac{Z_{(l)} + \frac{4}{3} Z_{(T)}}{(Z_{(l)} + \frac{4}{3} Z_{(T)})^2 - (\frac{2}{3} Z_{(T)})^2}}$$

$$Z_{S(cc)} = \frac{Z_{(l)} + Z_{(T)} + \frac{(Z_{(l)} + \frac{4}{3} Z_{(T)})^2 - (\frac{2}{3} Z_{(T)})^2}{4 \times (Z_{(l)} + \frac{4}{3} Z_{(T)})}}{2}$$

$$Z_{S(cc)} = \frac{Z_{(l)} + Z_{(T)} + \frac{1}{4} (Z_{(l)} + \frac{4}{3} Z_{(T)}) - \frac{(\frac{2}{3} Z_{(T)})^2}{4 \times (Z_{(l)} + \frac{4}{3} Z_{(T)})}}{2}$$

$$Z_{S(cc)} = \frac{3}{4} Z_{(l)} + \frac{4}{3} Z_{(T)} - \frac{1}{9} \frac{(Z_{(T)})^2}{(Z_{(l)} + \frac{4}{3} Z_{(T)})}$$

où le terme, $\frac{1}{9} \times \frac{(Z_{(T)})^2}{(Z_{(l)} + \frac{4}{3} Z_{(T)})}$ peut être négligé. On peut

écrire, donc,

$$Z_{S(cc)} = \frac{3}{4} Z_{(l)} + \frac{4}{3} Z_{(T)}$$

La comparaison de cette expression avec celles des impédances de transfert avant et après le défaut donne,

$$Z_{S(ap)} > Z_{S(cc)} > Z_{S(av)}$$

Si le terme considéré n'est pas négligé l'impédance de transfert aura pour expression

$$x_{s(cc)} = \frac{9x_{(l)}^2 + 20x_{(T)}^2 + 28x_{(l)}x_{(T)}}{12x_{(l)} + 16x_{(T)}}$$

- Court circuit biphasé isolé :

$$\Delta Z = Z_i ;$$

$$\Delta Z = \frac{Z_{(l)} \times Z_{(T)}}{Z_{(l)} + 2Z_{(T)}} ; \text{ et,}$$

$$Z_{S(cc)} = \frac{Z_{(l)}}{2} + Z_{(T)} + \frac{\frac{Z_{(l)} \times Z_{(T)}}{2}}{\frac{Z_{(l)} \times Z_{(T)}}{Z_{(l)} + 2Z_{(T)}}$$

$$Z_{S(cc)} = \frac{Z_{(l)}}{2} + Z_{(T)} + \frac{1}{2} Z_{(l)} + Z_{(T)}$$

$$Z_{S(cc)} = Z_{(l)} + 2Z_{(T)} , \text{ et, } Z_{S(cc)} > Z_{S(ap)} > Z_{S(av)}$$

- Court circuit biphasé à la terre :

$$\Delta Z = \frac{Z_i \times Z_o}{Z_i + Z_o} ;$$

$$\Delta Z = \frac{\frac{Z_{(l)} \times Z_{(T)}}{Z_{(l)} + 2Z_{(T)}} \times \frac{Z_{(l)} \times Z_{(T)}}{Z_{(l)} + \frac{2}{3}Z_{(T)}}}{\frac{Z_{(l)} \times Z_{(T)}}{Z_{(l)} + 2Z_{(T)}} + \frac{Z_{(l)} \times Z_{(T)}}{Z_{(l)} + \frac{2}{3}Z_{(T)}}}$$

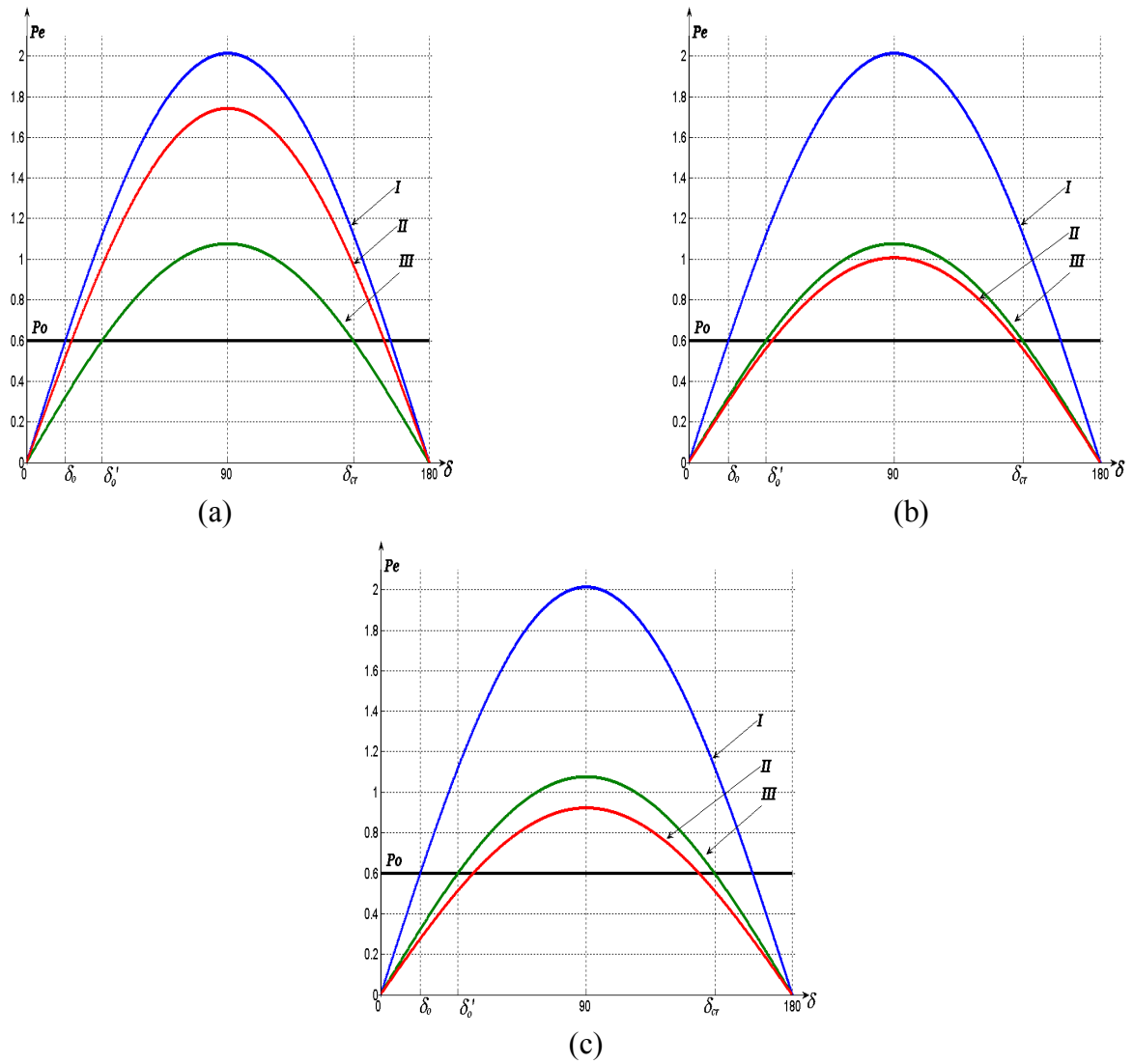


Fig.3.18. Les caractéristiques de puissance ; (a)- court circuit monophasé, (b)- court circuit biphase, (c)- court circuit biphase à la terre. ($Y \neq 0$)

$$\Delta Z = Z_{(0)} \times Z_{(T)} \frac{\frac{1}{Z_{(0)} + 2Z_{(T)}} \times \frac{1}{Z_{(0)} + \frac{2}{3}Z_{(T)}}}{\frac{(Z_{(0)} + \frac{2}{3}Z_{(T)}) + (Z_{(0)} + 2Z_{(T)})}{(Z_{(0)} + \frac{2}{3}Z_{(T)}) \times (Z_{(0)} + 2Z_{(T)})}}$$

$$\Delta Z = Z_{(0)} \times Z_{(T)} \frac{1}{(Z_{(0)} + \frac{2}{3}Z_{(T)}) + (Z_{(0)} + 2Z_{(T)})}$$

$$Z_{S(cc)} = \frac{Z_{(0)}}{2} + Z_{(T)} + \frac{\frac{Z_{(0)} \times Z_{(T)}}{2}}{Z_{(0)} \times Z_{(T)} \frac{1}{(Z_{(0)} + 2Z_{(T)}) + (Z_{(0)} + \frac{2}{3}Z_{(T)})}}$$

$$Z_{S(cc)} = \frac{3}{2}Z_{(0)} + \frac{7}{3}Z_{(T)}, \text{ et, } Z_{S(cc)} > Z_{S(ap)} > Z_{S(av)}$$

- Court circuit triphasé:

$$\Delta Z = 0 ;$$

$$Z_{S(cc)} = \frac{Z_{(0)}}{2} + Z_{(T)} + \frac{\frac{Z_{(0)} \times Z_{(T)}}{2}}{0},$$

$$Z_{S(cc)} = \infty, \text{ et, } Z_{S(cc)} > Z_{S(ap)} > Z_{S(av)}$$

Evaluation des effets des courts circuits asymétriques sur la stabilité d'un générateur

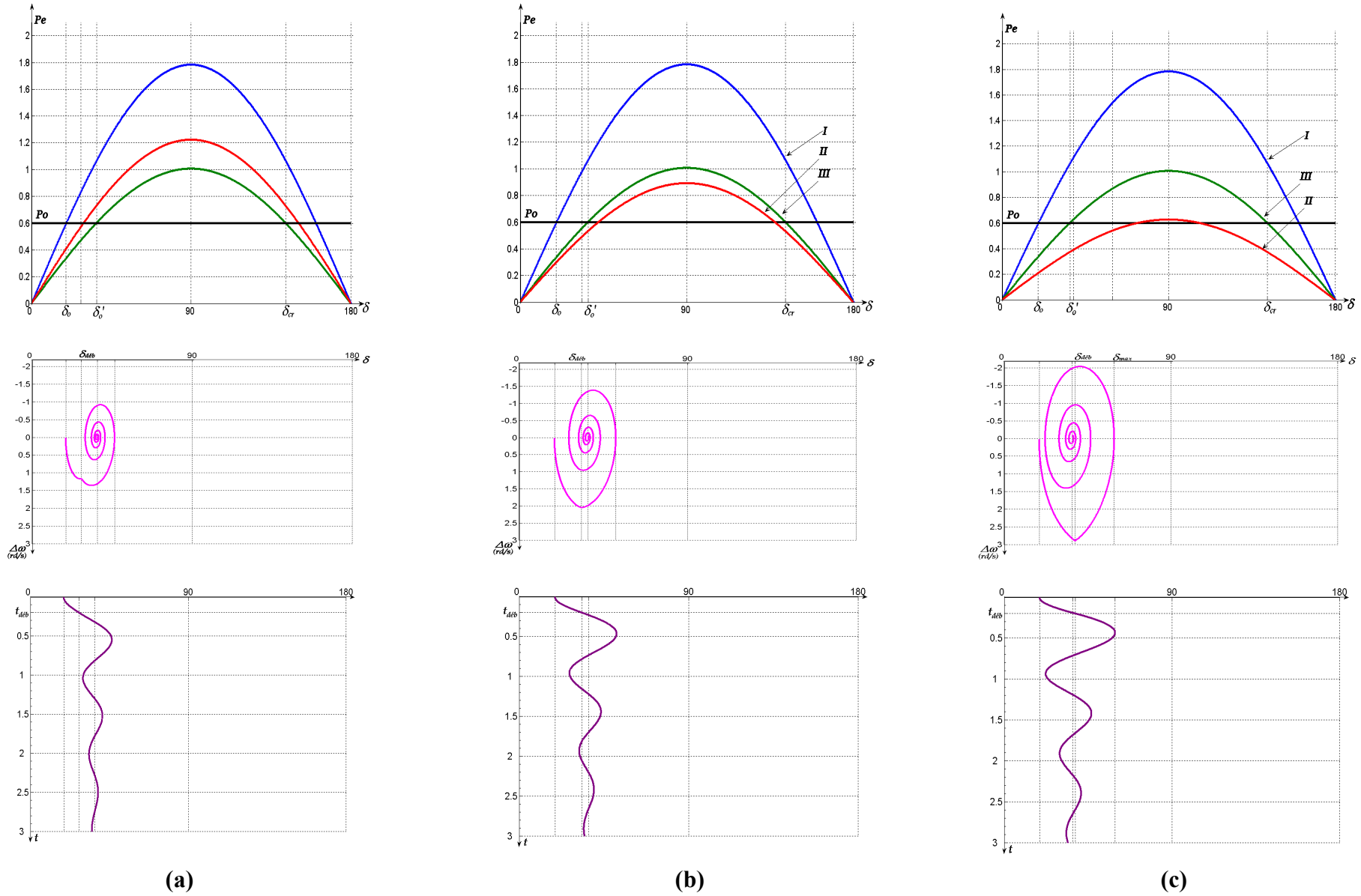


Fig.3.19. L'effet des régime asymétrique sur la stabilité angulaire de générateur ; (a)- court circuit 1 Φ -T, (b)- 2 Φ isolé, (c)-2 Φ -T
 Pour un même temps de débranchement $t=0.2$ sec, ($Y=0$)

En haute et très haute tension, les admittances de la ligne ont un effet considérable sur la valeur globale de l'impédance de transfert, ainsi que sur la capacité de transport de la ligne ; cet effet peut être évalué en comparant les résultats obtenus pour une même puissance active de charge et mêmes tensions d'extrémités (voir l'annexe). La ligne joue le rôle d'une grande capacité où la terre est l'une de ces deux armatures ; par son effet transversal, elle diminue l'impédance de transfert, et améliore en valeur la puissance caractéristique maximale (capacité de transport) de la ligne, (Fig.3. 18, 19), ainsi que l'angle de transfert. Donc une augmentation de la réserve de puissance ($\Delta P = P_0 - P_e$).

3.3.2. L'influence de la distance de point du défaut :

L'impédance du transfert en défaut est inversement proportionnelle à l'éloignement du point du défaut de son point de référence (nœud 2), en cas d'un court circuit symétrique [2]. La procédure du calcul de la stabilité du générateur, peut être déduite des **Fig.3. 20, 21**, et l'effet de l'éloignement sur la puissance transférée est illustré sur les **Fig.3. 22**. (pour un court circuit asymétrique voir annexe n°2).

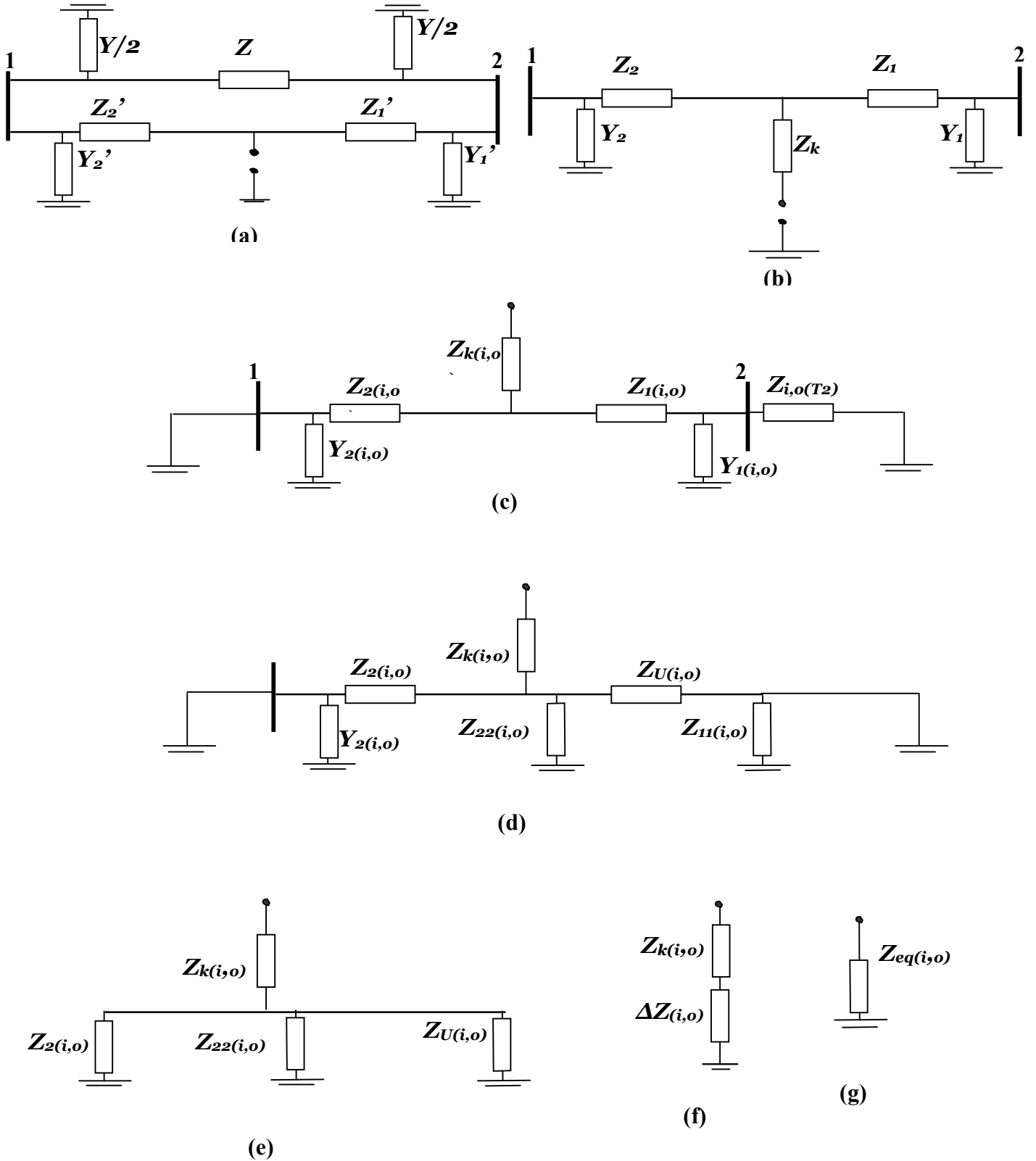


Fig.3.20. Impédances équivalentes ; inverse et homopolaire
(Transformations et réduction)

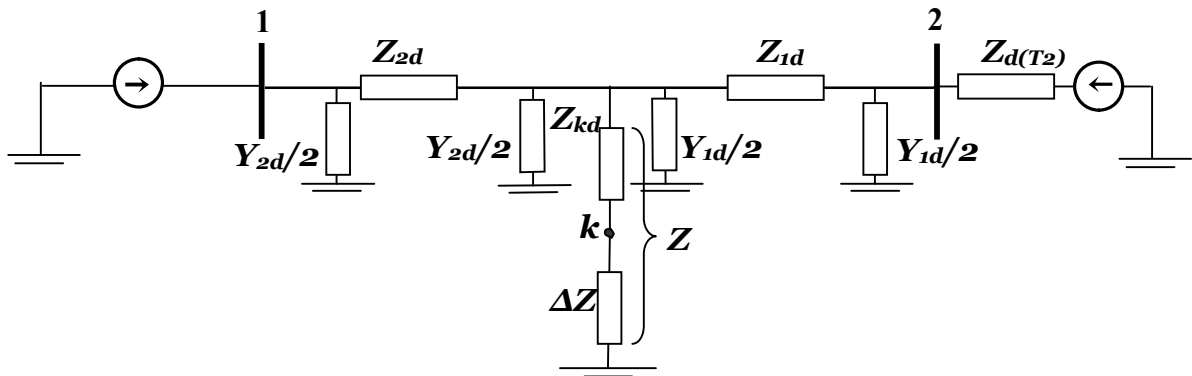


Fig.3.21. Circuit équivalent d'un défaut à une distance x

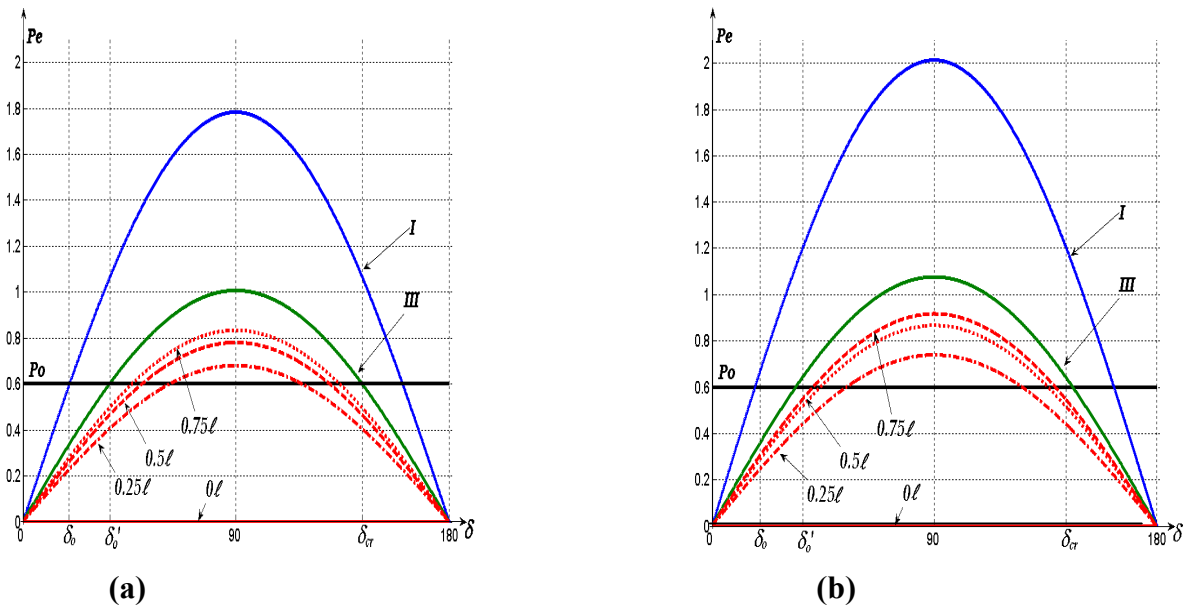


Fig.3. 22. L' effet de l'éloignement du point d'un court circuit symétrique sur la caractéristique de puissance, (a)- $Y=0$, (b)- $Y \neq 0$.

La procédure de calcul :

*-fixer les donnée

$$U_s = 1; Z_c = 136.68; \alpha = 0.06^\circ; \ell = 1000 \text{ km}; P_o = 0.6; x_T = 0.128;$$

**-Avant le défaut

5- Calculer l'impédance de transfert:

$$Z = j \sin(\alpha \ell); Y = j \tan(\alpha \ell / 2); X = [1 \quad jx_T; 0 \quad 1]; \%Y = 0;$$

$$L_{(\ell/2)} = [1 + (Z * Y / 2) \quad Z / 2; Y * (2 + (Z * Y / 2)) \quad 1 + (Z * Y / 2)];$$

$$S = L_{(\ell/2)} * X; \text{ et } S = [A_{s(av)} \quad B_{s(av)}; C_{s(av)} \quad D_{s(av)}]; \text{ et } Z_{s(av)} = B_{s(av)} / Z_c;$$

1.1- Calculer α si $Y \neq 0$;

1.2- Calculer Q_o

1.3- Calculer et fixer U_1

2- Tracer $P_{(av)}$

***- En défaut

1- Calculer l'impédance de transfert :

$$Z_1' = j \sin(\alpha k \ell); Y_1' = j \tan(\alpha k \ell / 2); \%Y_1' = 0;$$

$$Z_2' = j \sin(\alpha (1-k) \ell); Y_2' = j \tan(\alpha (1-k) \ell / 2); \%Y_2' = 0;$$

$$Z_1 = j (1/2) \sin(\alpha k \ell); Y_1 = j ((Y/2) + \tan(\alpha k \ell / 2)); \%Y_1 = 0;$$

$$Z_2 = j (1/2) \sin(\alpha (1-k) \ell); Y_2 = j ((Y/2) + \tan(\alpha (1-k) \ell / 2)); \%Y_2 = 0;$$

$$Z_k = 2 * Z_1 * Z_2 / Z;$$

$$L_{(1)} = [1 + (Z_1 * Y_1 / 2) \quad Z_1; (Y_1 / 2) * (2 + (Z_1 * Y_1 / 2)) \quad 1 + (Z_1 * Y_1 / 2)];$$

$$L_{(2)} = [1 + (Z_2 * Y_2 / 2) \quad Z_2; (Y_2 / 2) * (2 + (Z_2 * Y_2 / 2)) \quad 1 + (Z_2 * Y_2 / 2)];$$

1.1- Calculer l'impédance inverse

$$Z_{1i} = Z_1; Z_{2i} = Z_2; Z_{ki} = Z_k; Y_{2i} = Y_2; Y_{1i} = Y_1;$$

$$Z_{Ei} = Z_{2i};$$

$$Z_{Ui} = Z_{1i} + x_{Ti} + (Z_{1i} * x_{Ti} * Y_{1i});$$

$$Z_{22i} = Z_{1i} + (1/Y_{1i}) + Z_{1i} / (x_{Ti} * Y_{1i});$$

$$Z_{eq(i)} = Z_{ki} + (Z_{Ei} // Z_{Ui} // Z_{22i});$$

1.2- Calculer l'impédance homopolaire

$$Z_{10} = 3 * Z_1; Z_{20} = 3 * Z_2; Z_{k0} = 3 * Z_k; Y_{20} = 6 * Y_2; Y_{10} = 6 * Y_1;$$

$$Z_{E0} = 3 * Z_{2i};$$

$$Z_{U0} = 3 * Z_{i1} + x_{T1} + (3 * Z_{i1} * x_{T1} * 6 * Y_{i1});$$

$$Z_{220} = 3 * Z_{i1} + (1/6 * Y_{i1}) + 3 * Z_{i1} / (x_{T1} * 6 * Y_{i1});$$

$$Z_{eq(0)} = Z_{k0} + (Z_{E0} // Z_{U0} // Z_{220});$$

1.3- Calculer l'impédance transversale ($Z_3 = Z_k + \Delta Z$) selon le type de défaut, et ensuite la représentée par une matrice ;

$L_{cc(k)} = [1 \quad 0 ; 1/Z_3 \quad 1]$; en déduisant la matrice globale de liaison ;

$$S = L^{(12)} * L_{cc(k)} * L^{(11)} * X ; \text{ et } Z_{s(cc)} = B_{s(cc)} / Z_c ;$$

2- Tracer $P_{(cc)}$.

****- Après le défaut

1- Calculer l'impédance de transfert :

$$L = [1 + (Z * Y / 2) \quad Z ; (Y / 2) * (2 + (Z * Y / 2)) \quad 1 + (Z * Y / 2)] ;$$

$$S = L * X ; \text{ et } S = [A_{s(ap)} \quad B_{s(ap)} ; C_{s(ap)} \quad D_{s(ap)}] ; \text{ et } Z_{s(ap)} = B_{s(ap)} / Z_c ;$$

2- Tracer $P_{(ap)}$.

*****- calculer $\delta_{deb-max}$, et par une méthode itérative (ex ; R-K4) $t_{deb-max}$ équivalent et tracer $\delta(t)$.